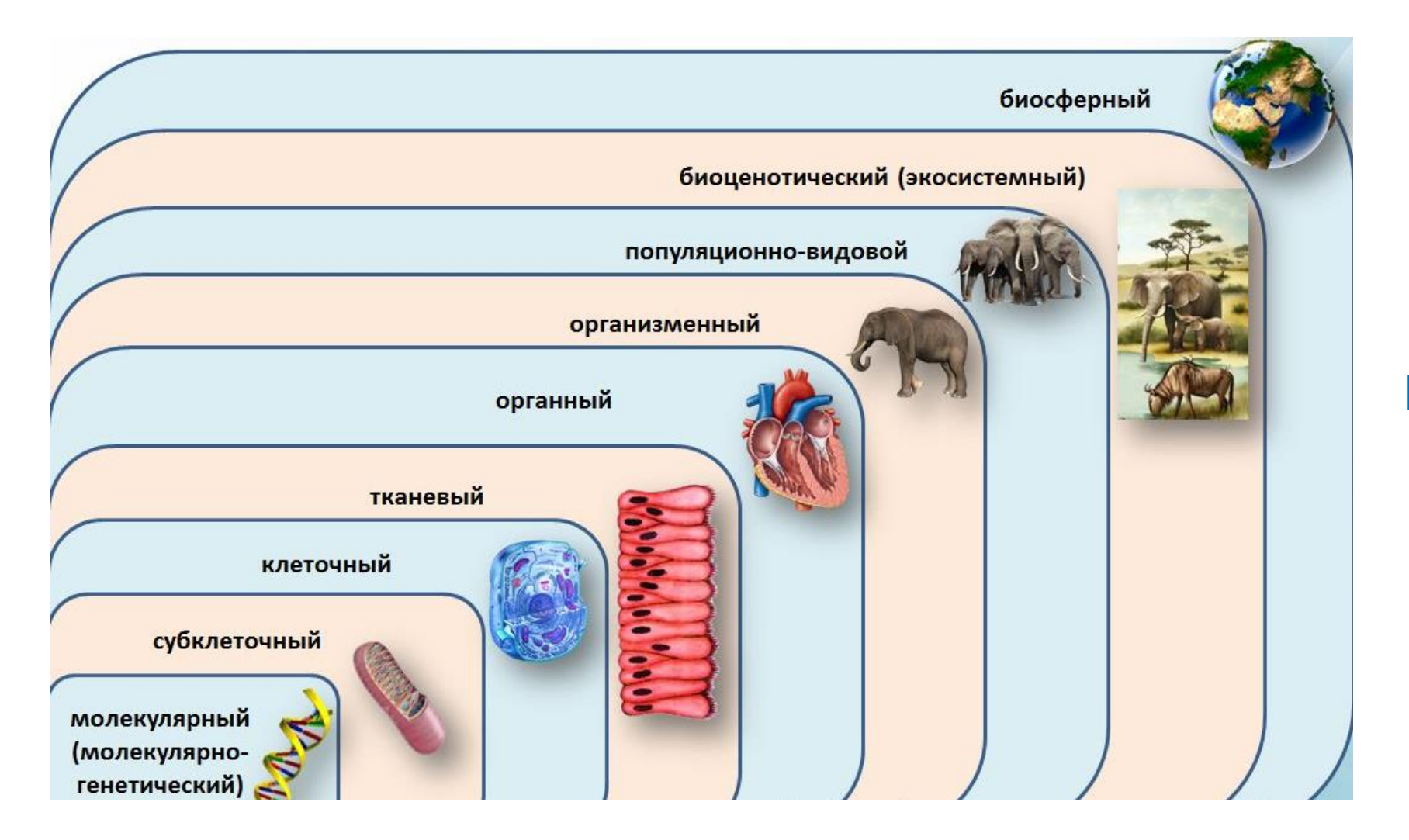


АВТОКОЛЕБАНИЯ В БИОЛОГИЧЕСКИХ СИСТЕМАХ

Доц. Татьяна Юрьевна Плюснина

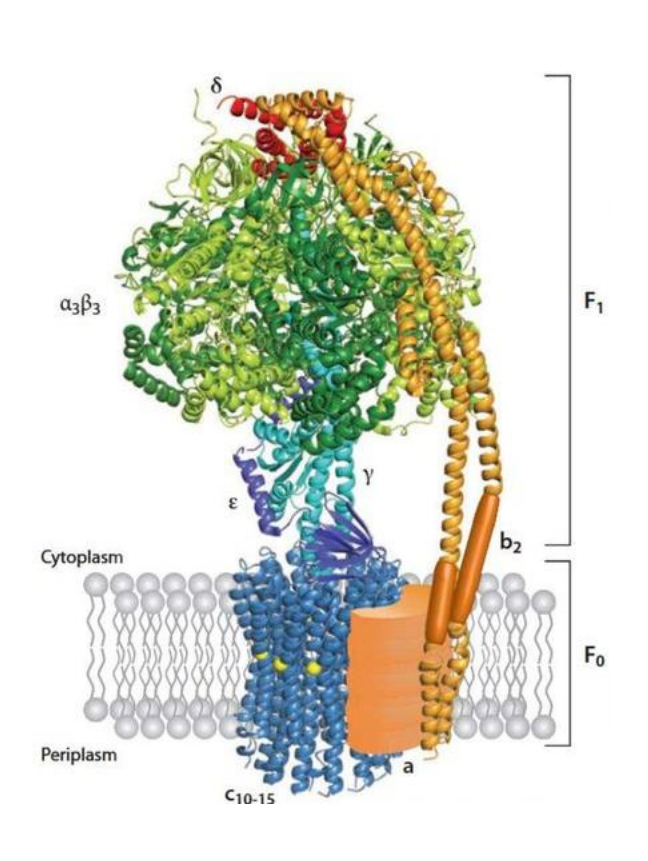
http://mathbio.ru

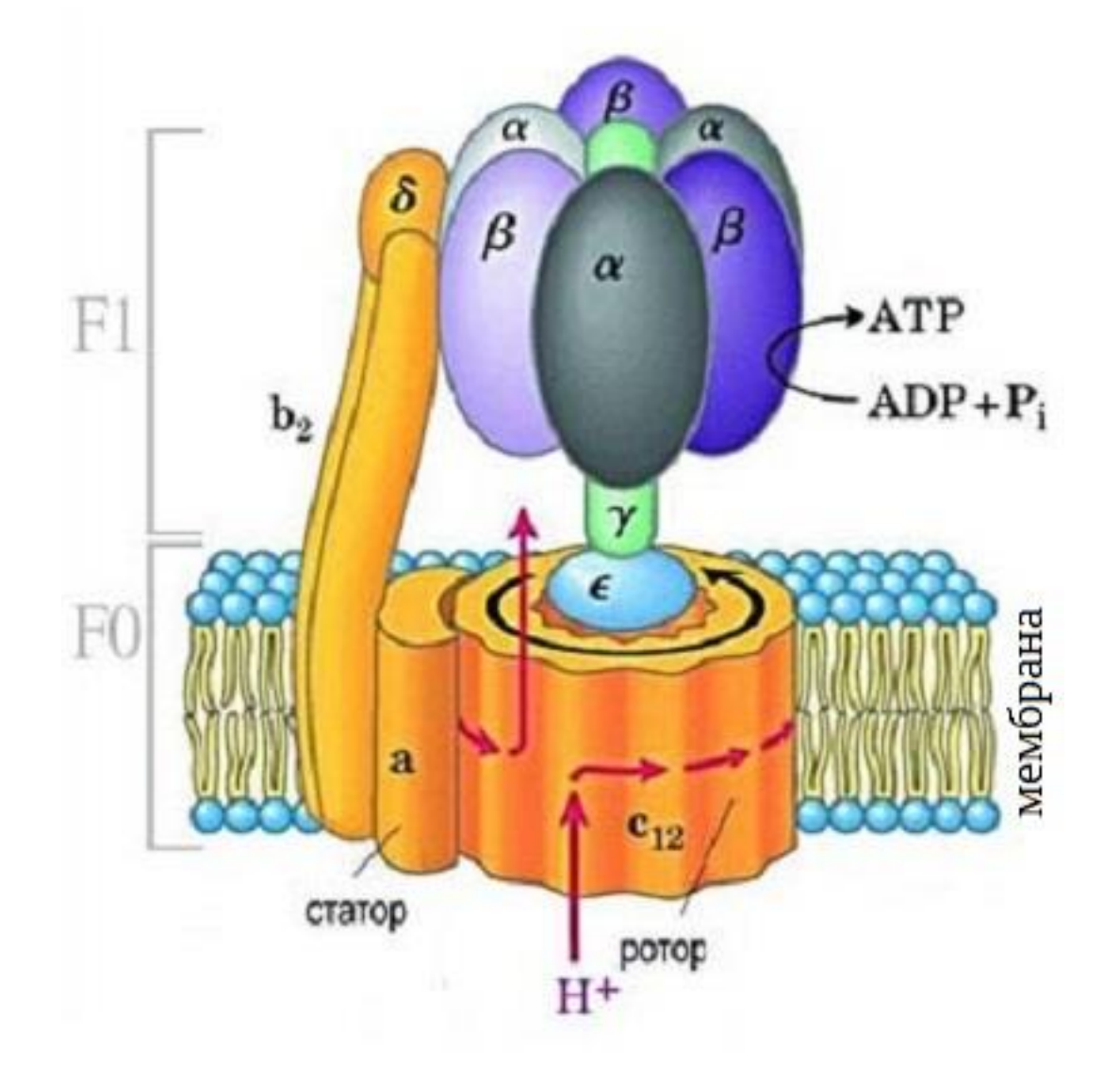
plusn@yandex.ru



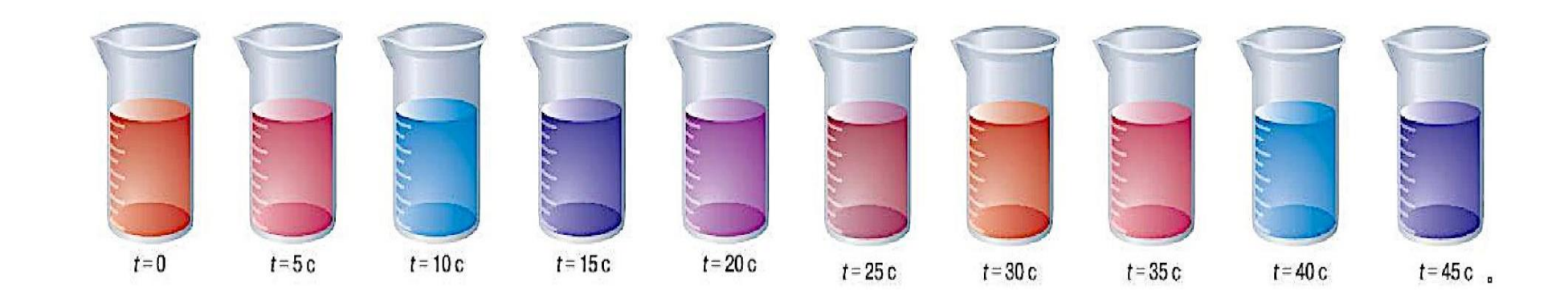
Колебательные процессы присутствуют на всех уровнях организации живой материи

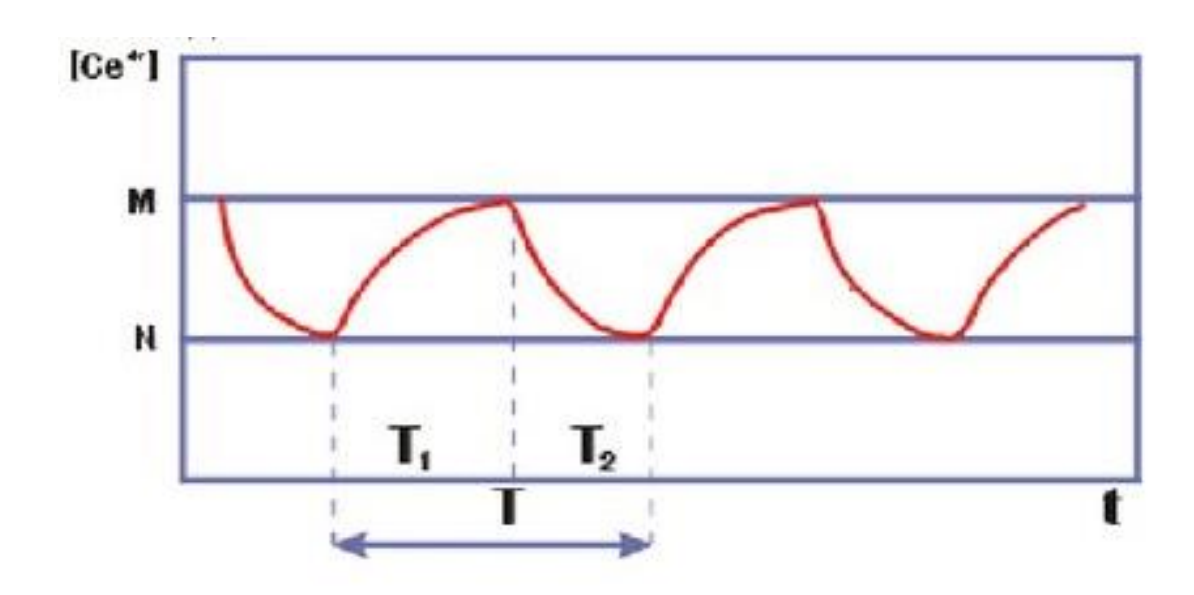
Работа АТФ-синтазы

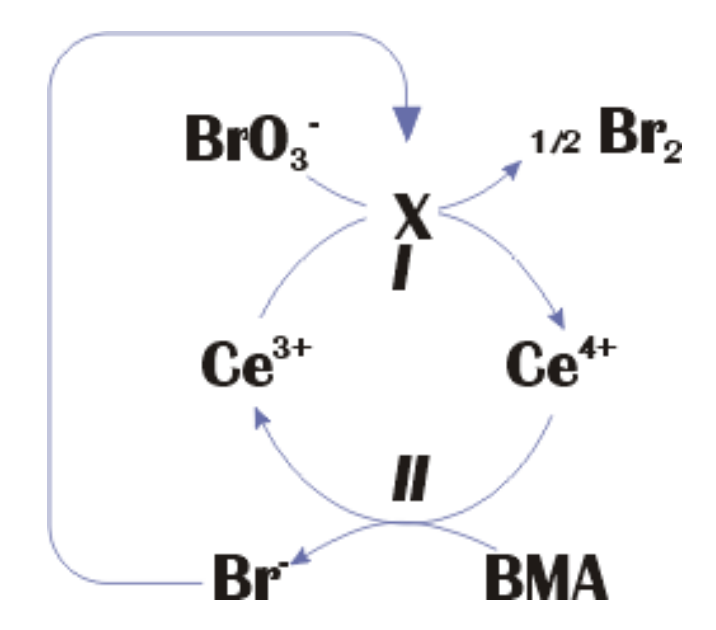




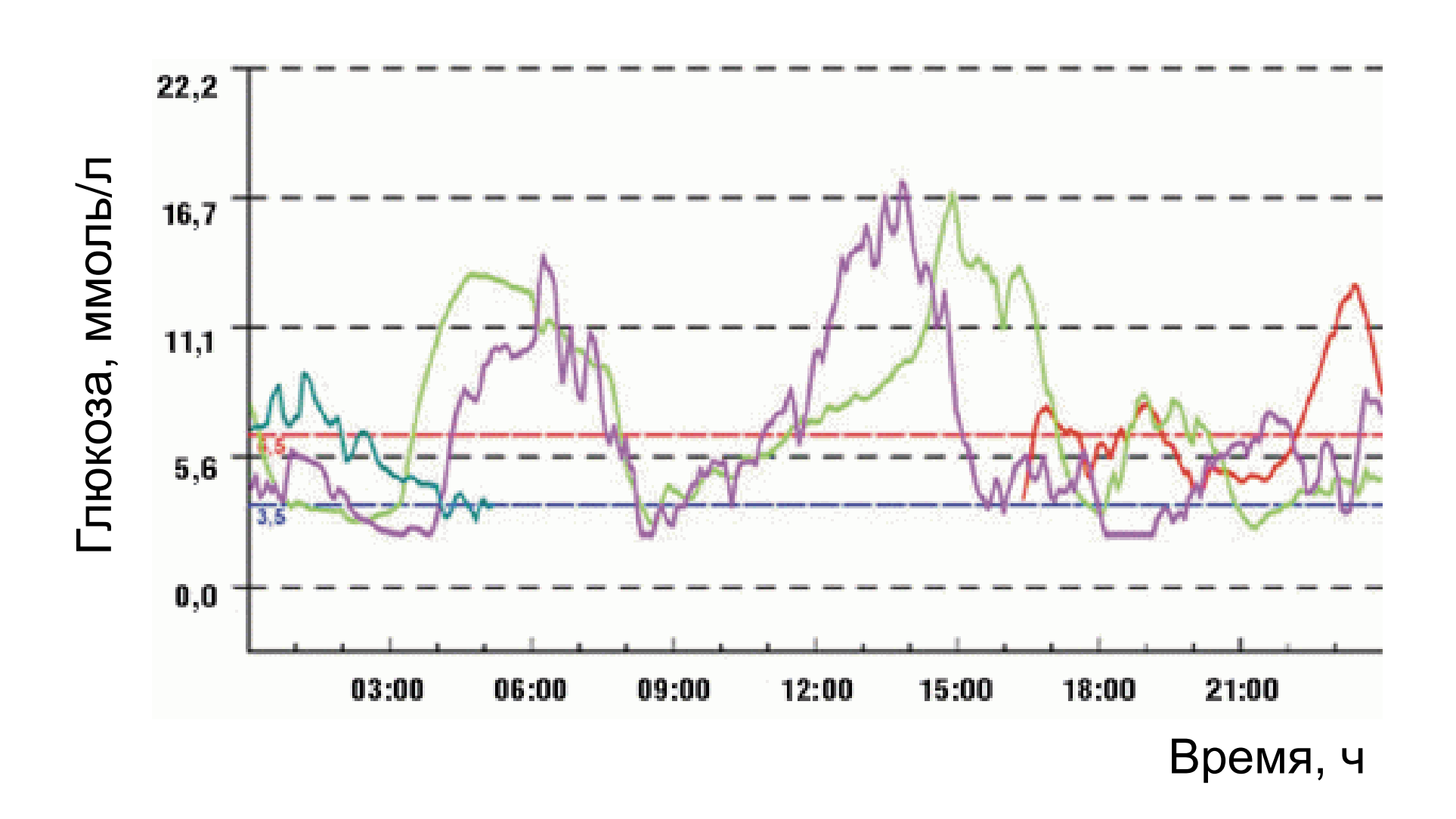
Реакция Белоусова-Жаботинского



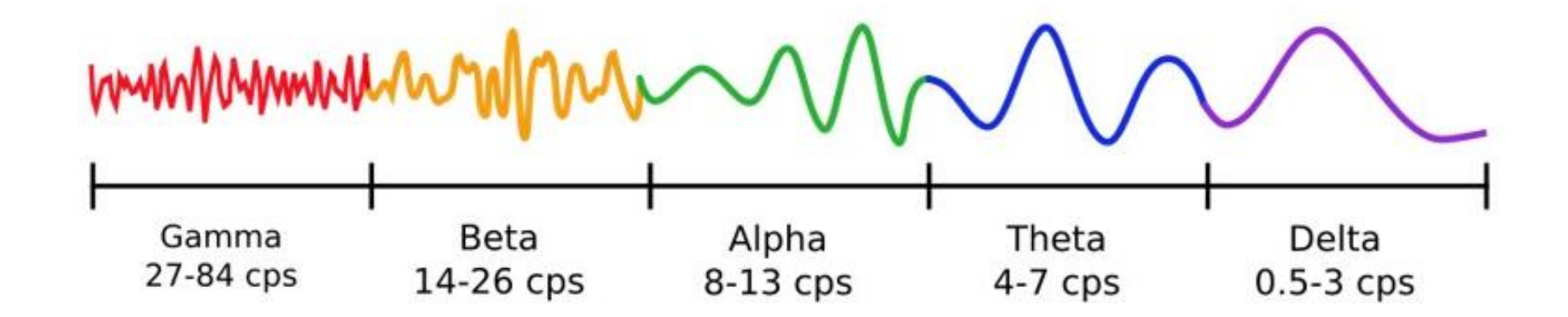


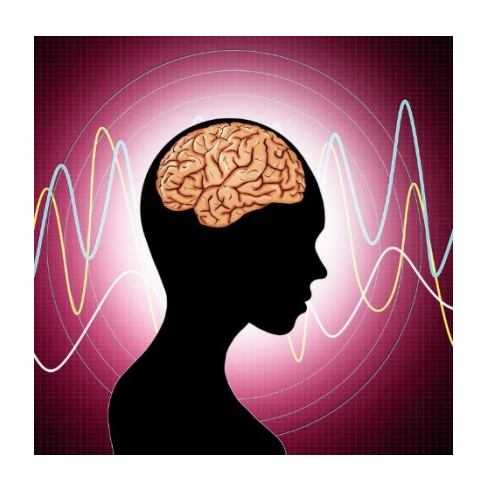


Динамика уровня глюкозы в крови



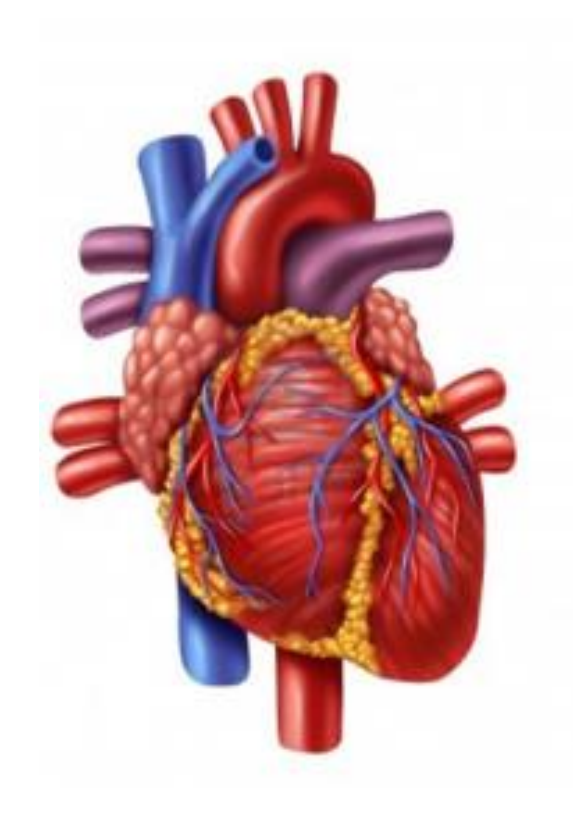
Ритмы мозга

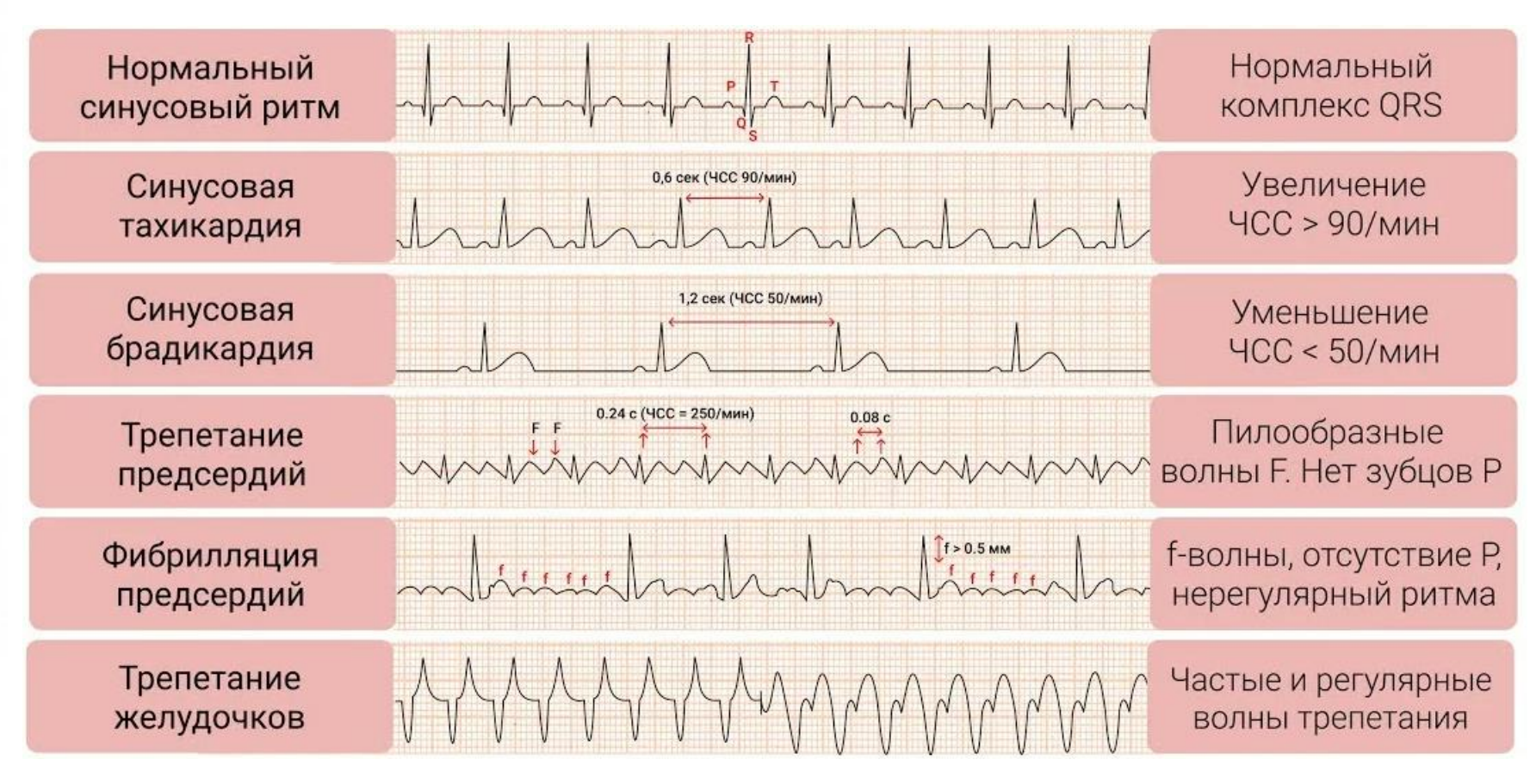




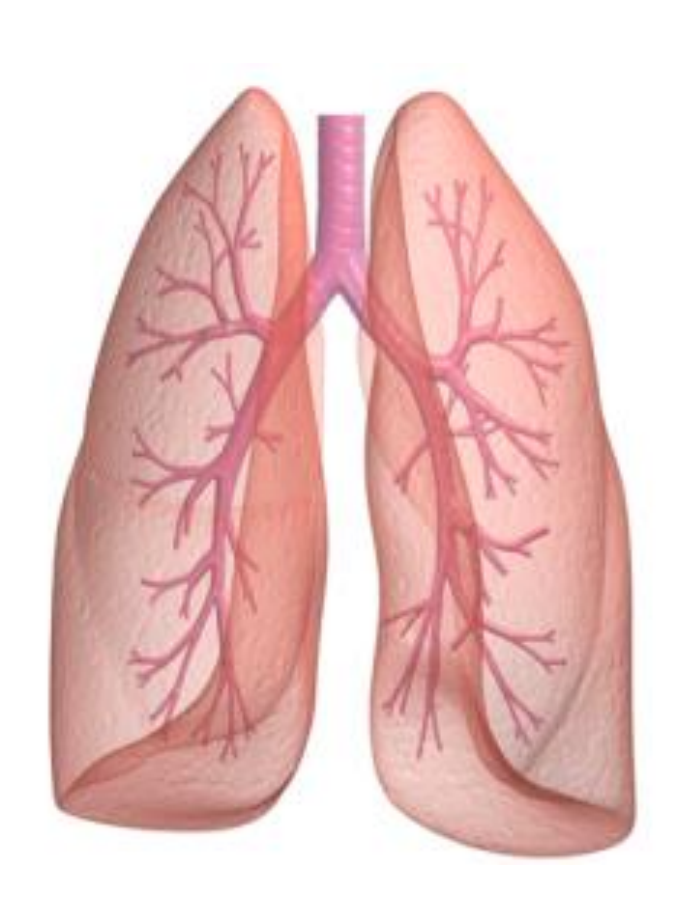
Название	Частотные диапазоны волн	Состояние
гамма	40-150 Гц	Максимум внимания, осознавание, инсайт
бета	14-40 Гц	Активное мышление, переживания,опасения
альфа	8-14 Гц	Спокойный тихий ум, безмыслие в состоянии бодрствования
тета	4-8 Гц	Сон со сновидениями
дельта	1-4 Гц	Глубокий сон без сновидений

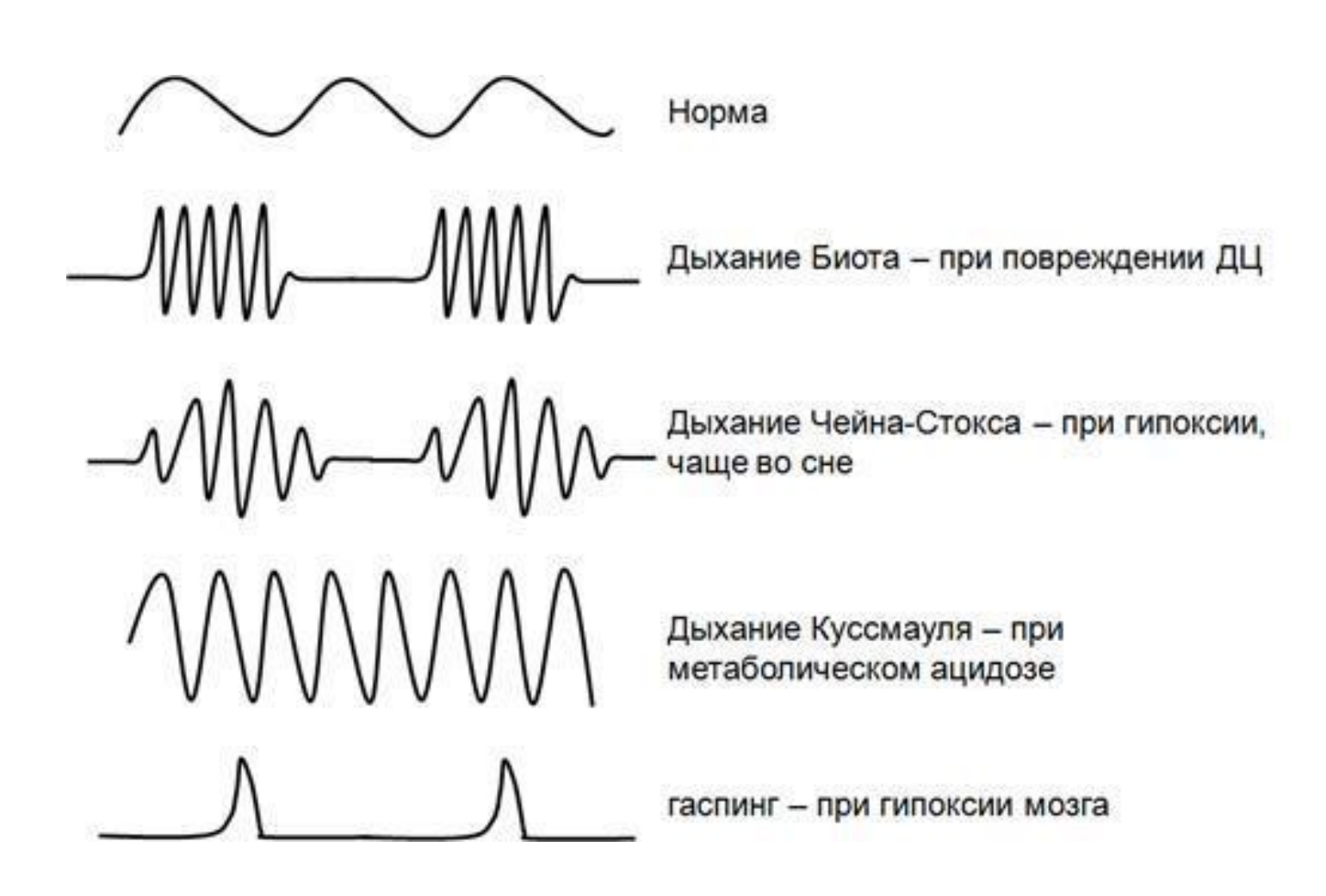
Ритмы сердца



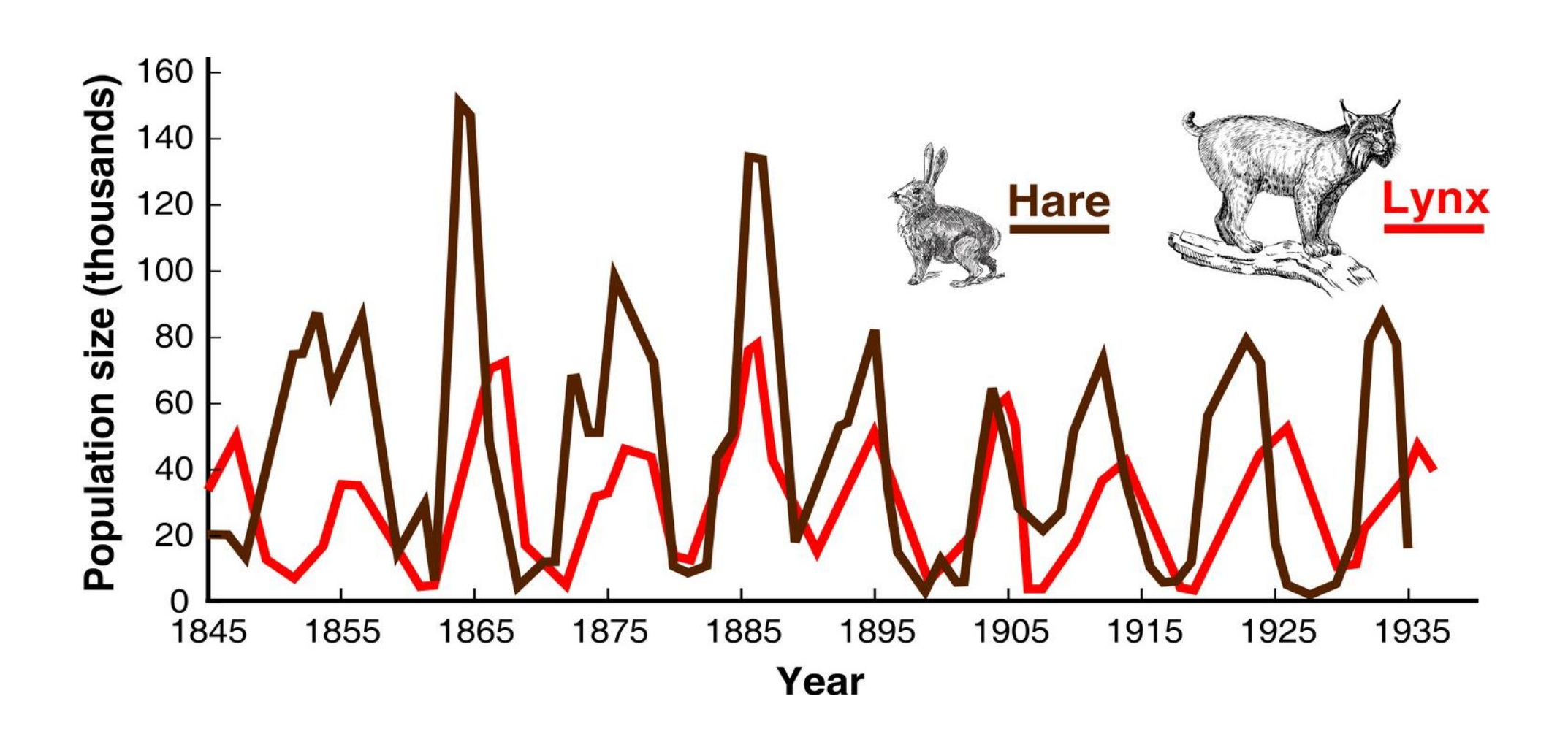


Ритмы дыхания





Колебания в популяциях и сообществах



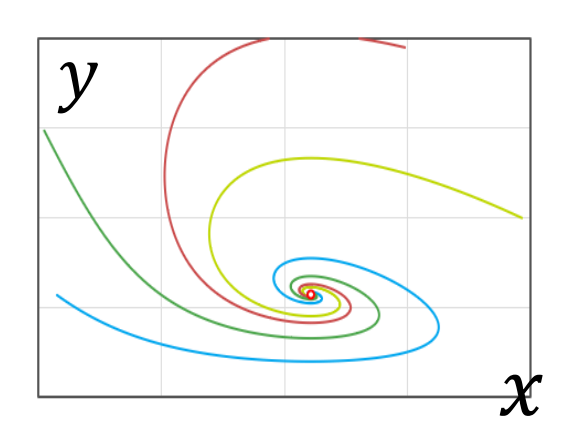
(по К. Вилли, В. Детье, 1974)

Рассмотренные типы колебаний

Затухающие колебания

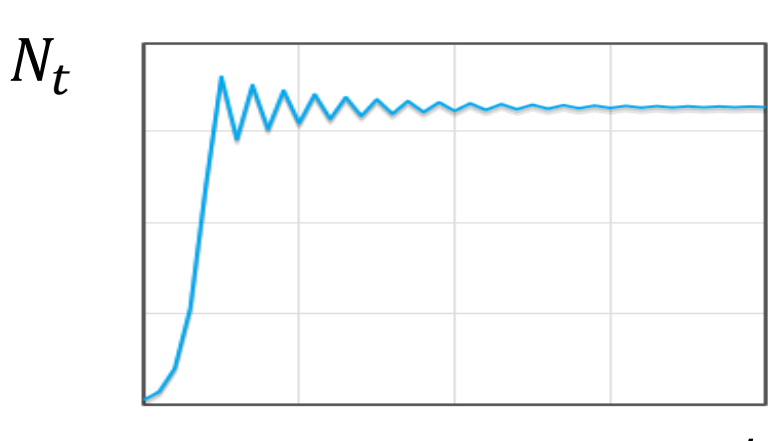
Модель Лотки

$$\frac{dx}{dt} = k_0 - k_1 xy$$
$$\frac{dy}{dt} = k_1 xy - k_2 y$$



Дискретный аналог логистического уравнения

$$N_{t+1} = N_t \cdot e^{r\left(1 - \frac{N_t}{K}\right)}$$

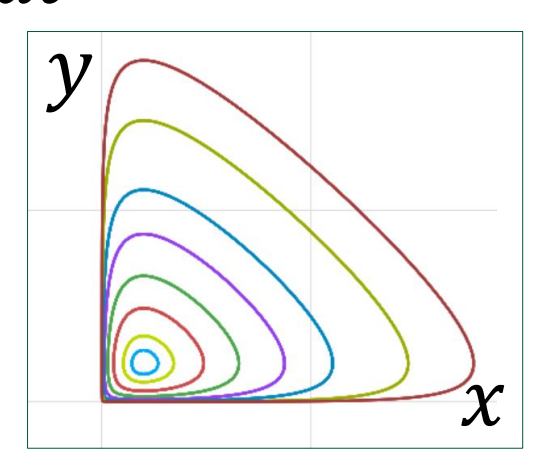


Рассмотренные типы колебаний

Незатухающие колебания

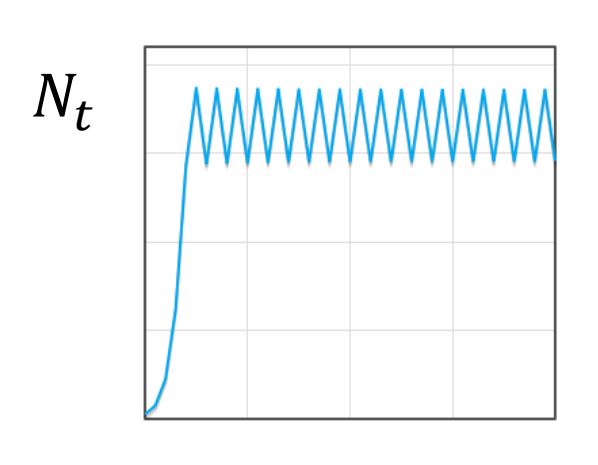
Модель Вольтерры

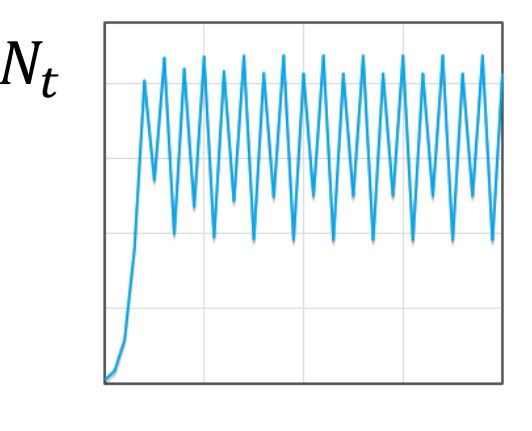
$$\frac{dx}{dt} = \varepsilon_x x - \gamma_{xy} xy$$
$$\frac{dy}{dt} = \gamma_{yx} xy - \varepsilon_y y$$



Дискретный аналог логистического уравнения

$$N_{t+1} = N_t \cdot e^{r\left(1 - \frac{N_t}{K}\right)}$$





1

Характеристики колебаний

Амплитуда колебаний



Амплитуда

Максимальное отклонение переменной от положения равновесия

Период

Время, через которое значения переменной начинают повторяться

Какими свойствами должна обладать система, чтобы в ней могли возникнуть колебания?

Обратная связь (feedback)

Обра́тная связь — это процесс, приводящий к тому, что результат функционирования какой-либо системы влияет на параметры, от которых зависит функционирование этой системы. Другими словами, на вход системы подаётся сигнал, пропорциональной её выходному сигналу (или, в общем случае, являющийся функцией этого сигнала)

Отрицательная обратная связь изменяет входной сигнал таким образом, чтобы противодействовать изменению выходного сигнала. Это делает систему более устойчивой к случайному изменению параметров.

Положительная обратная связь усиливает изменение выходного сигнала. Системы с сильной положительной обратной связью проявляют тенденцию к неустойчивости, в них могут возникать незатухающие колебания

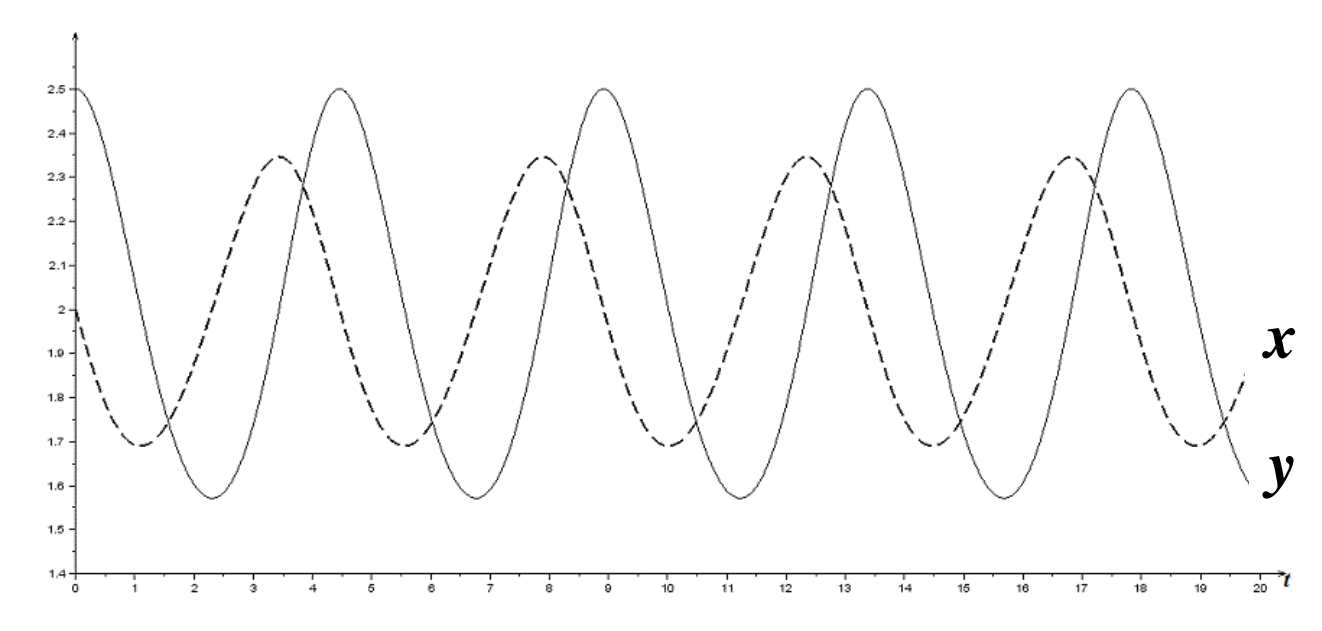
Биологические системы – сочетание положительных



При $x - \max$ скорость **роста** y dy/dt - max

При $y - \max$ скорость **убыли** x dx/dy - max

$$\frac{dx}{dt} = ax - bxy$$
$$\frac{dy}{dt} = cxy - dy$$



Периодический процесс

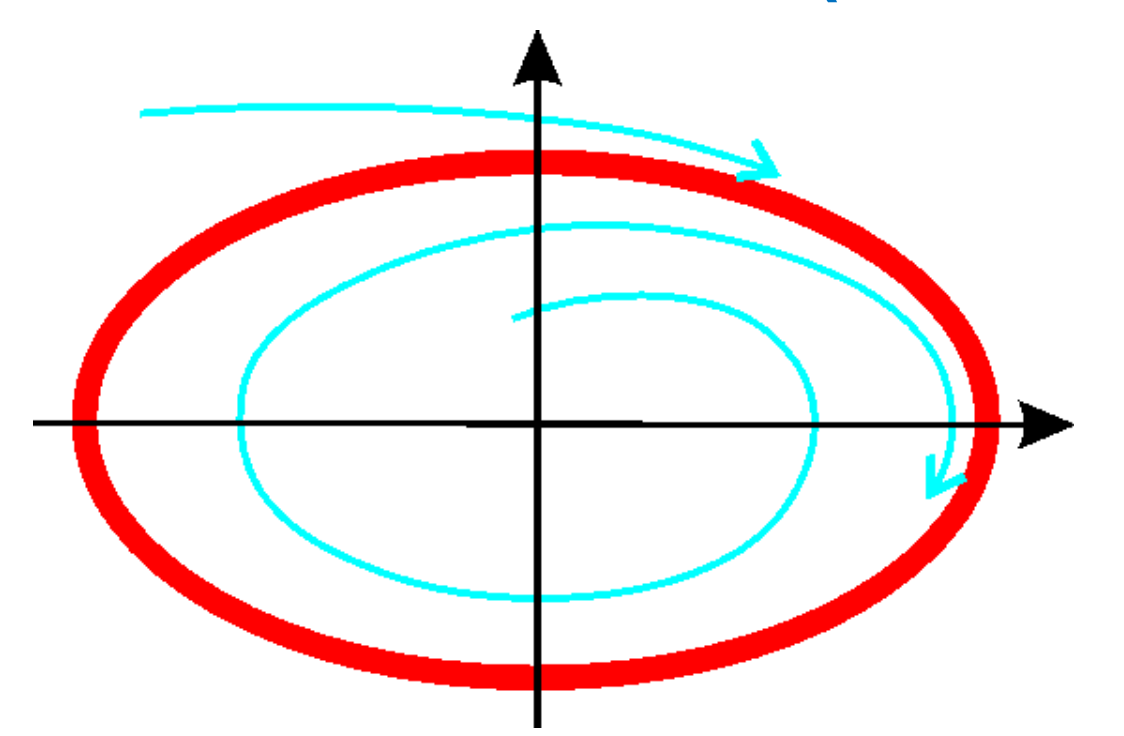
$$\begin{cases} \frac{dx}{dt} = P(x, y) \\ \frac{dy}{dt} = Q(x, y) \end{cases}$$

Решения:

$$x = x(t)$$
$$y = y(t)$$

 $E c \pi T (T > 0) — наименьшее$ число, для которого при всяком t выполняется x(t+T) = x(t), y(t+T) = y(t),то изменение переменных x = x (t), y = y (t) называется периодическим изменением с периодом T.

Предельный цикл (автоколебания)

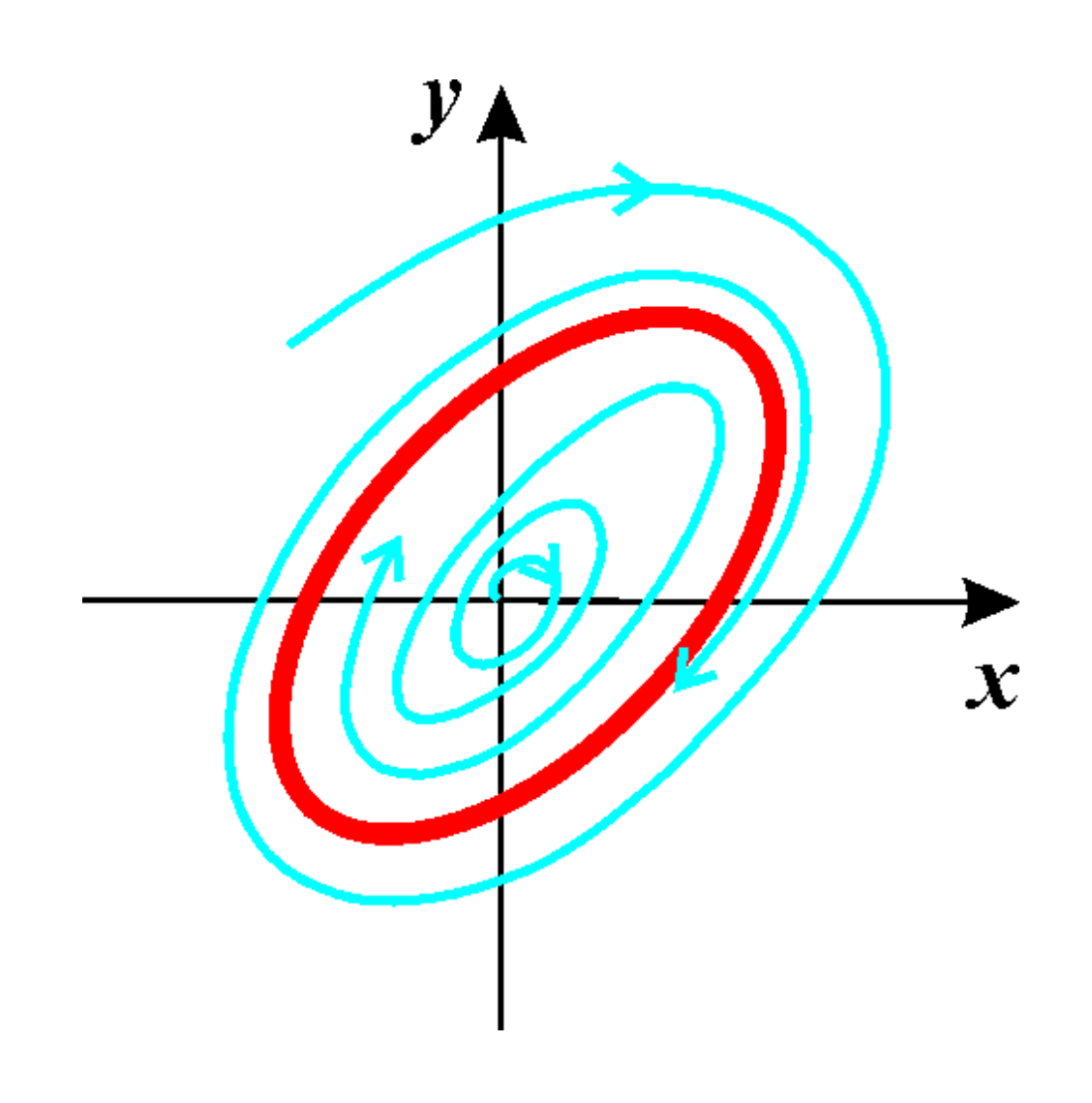


Предельным циклом называется изолированная замкнутая кривая на фазовой плоскости, к которой с внешней и внутренней стороны при $t \to +\infty$ (или при $t \to -\infty$) стремятся фазовые траектории, начинающиеся в ее ε -окрестности.

На фазовой плоскости автоколебания изображаются в виде замкнутой изолированной траектории – ПРЕДЕЛЬНОГО ЦИКЛА

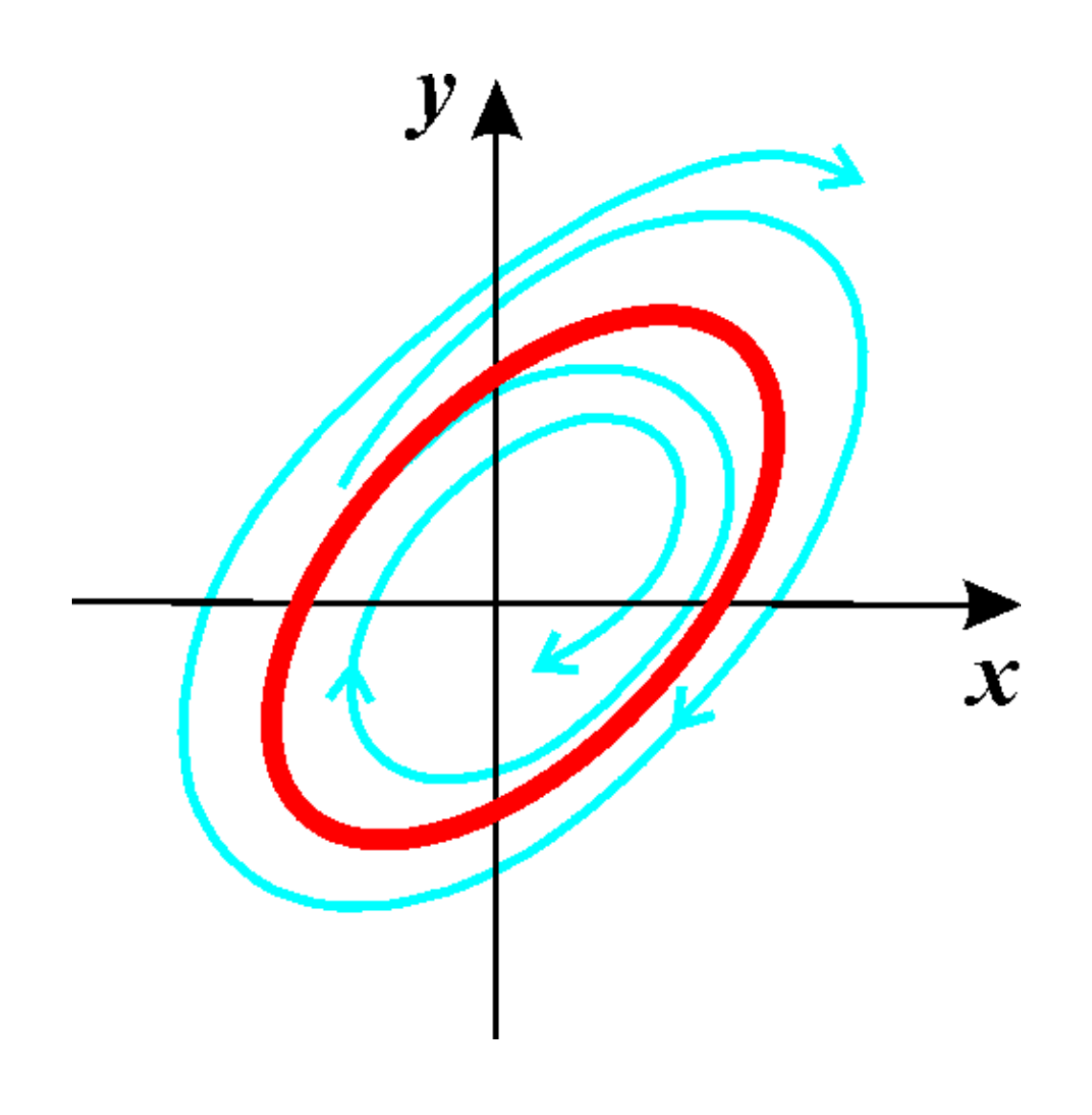
Устойчивый предельный цикл

Предельный цикл называется устойчивым, если существует такая область на фазовой плоскости, содержащая этот предельный цикл, - окрестность ε , что все фазовые траектории, начинающиеся в окрестности ε , асимптотически при $t o \infty$ приближаются к предельному циклу.



Неустойчивый предельный цикл

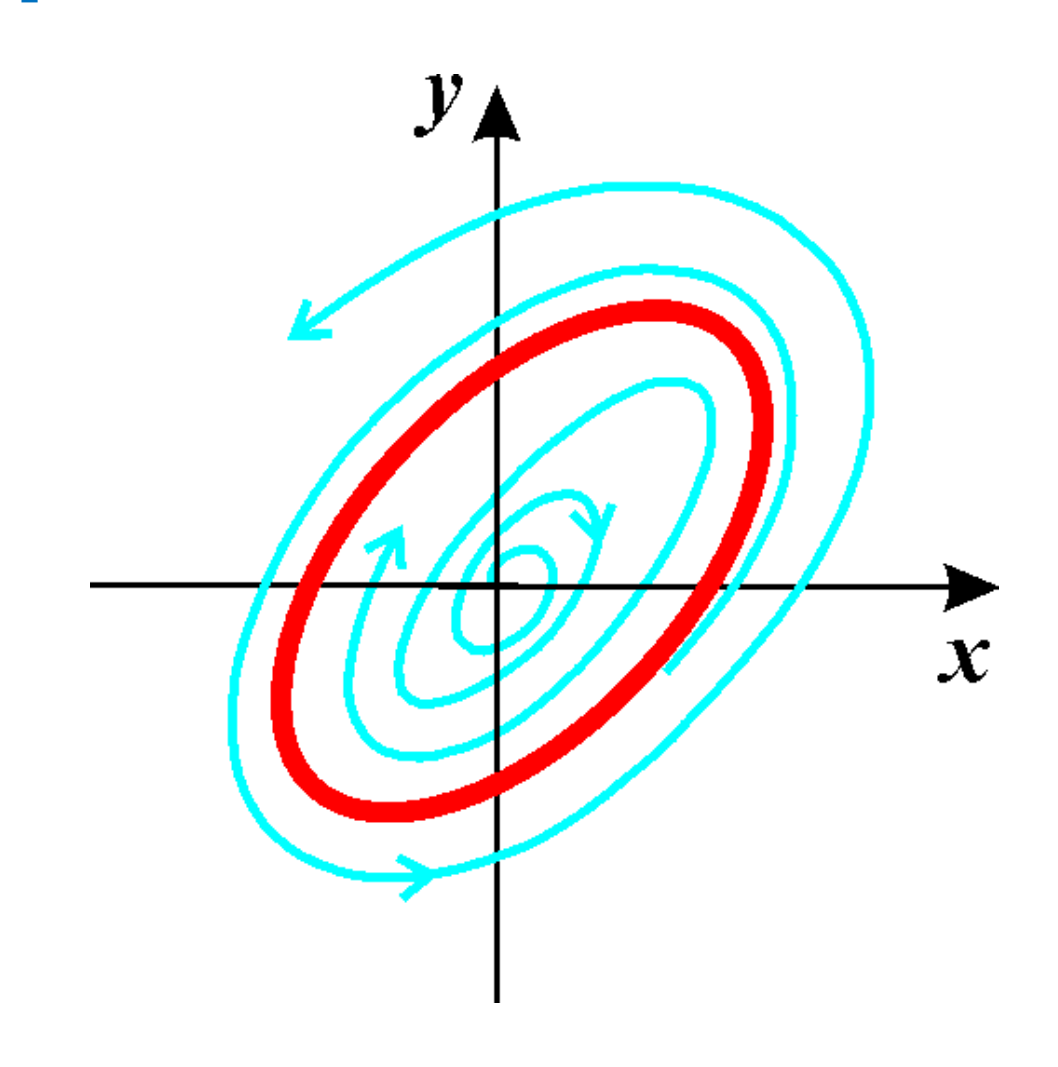
Если же в любой сколь угодно малой окрестности arepsilonпредельного цикла существует по крайней мере одна фазовая траектория, не приближающаяся к предельному циклу при $t \to \infty$, то такой предельный цикл называется неустойчивым.



«Полуустойчивый» предельный цикл

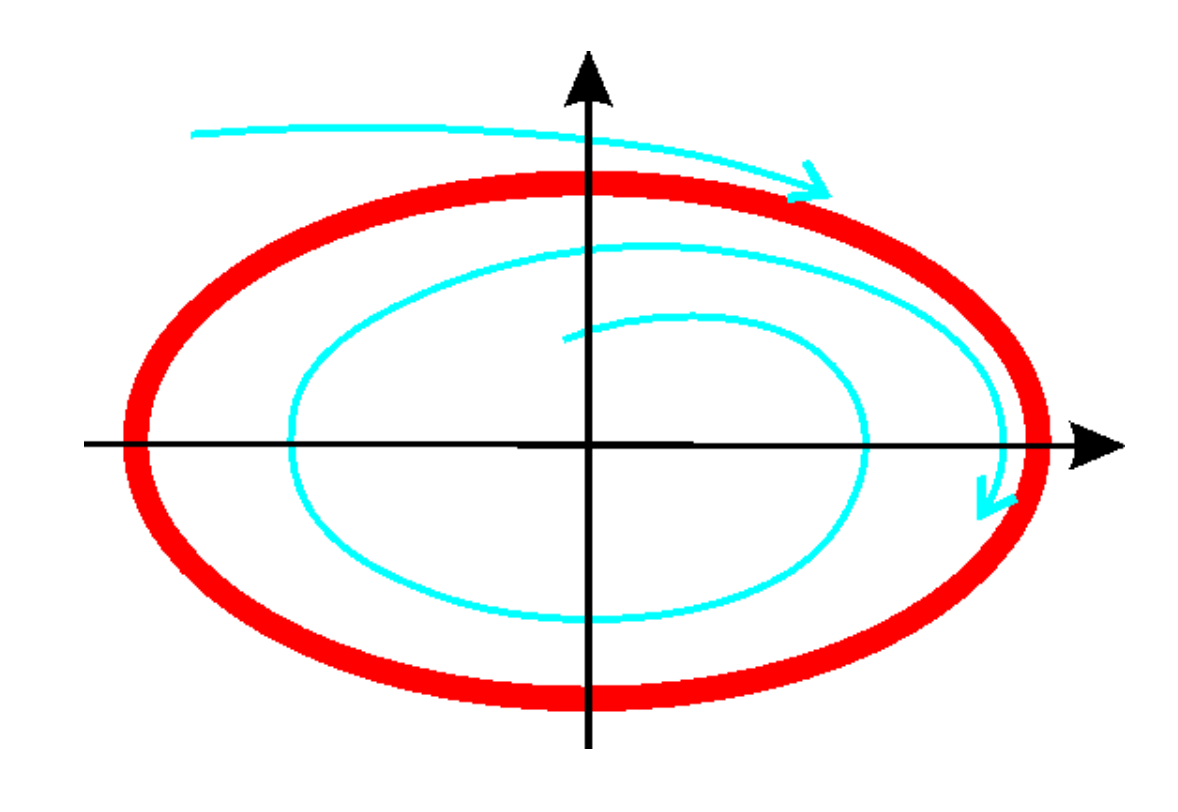
Такие циклы также называют двойными.

При некотором значении параметра они расщепляются на **два**, один из которых **устойчив**, а другой – **неустойчив**.



Как определить, есть ли в системе уравнений решение в виде предельного цикла?

$$\begin{cases} \frac{dx}{dt} = P(x, y) \\ \frac{dy}{dt} = Q(x, y) \end{cases}$$



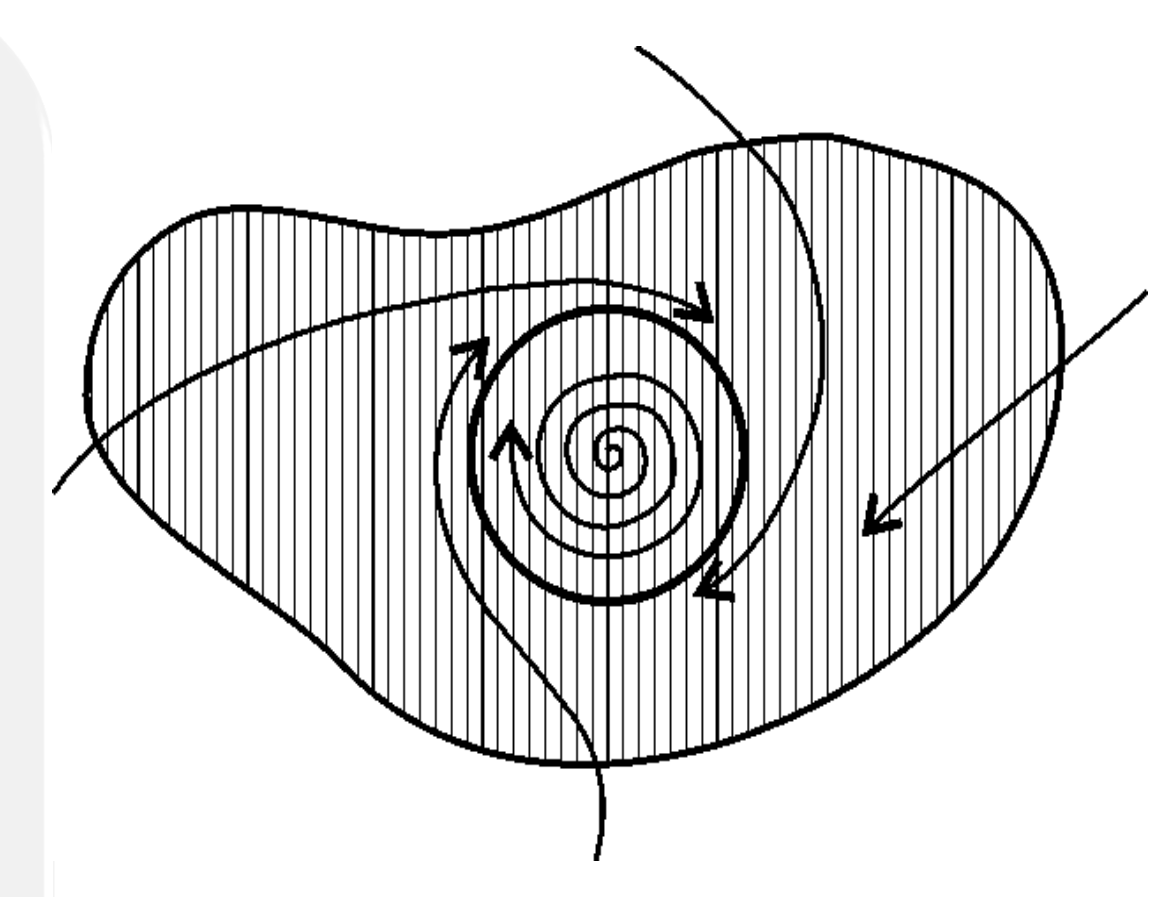
Теоремы существования предельного цикла

Теорема 1

Если на фазовой плоскости существует некоторая замкнутая область, такая, что

- 1. все фазовые траектории, пересекающие границу этой области, входят в нее,
- 2. внутри этой области находится неустойчивая особая точка, отличная от седла,

то в этой области обязательно имеется хотя бы один **предельный цикл**

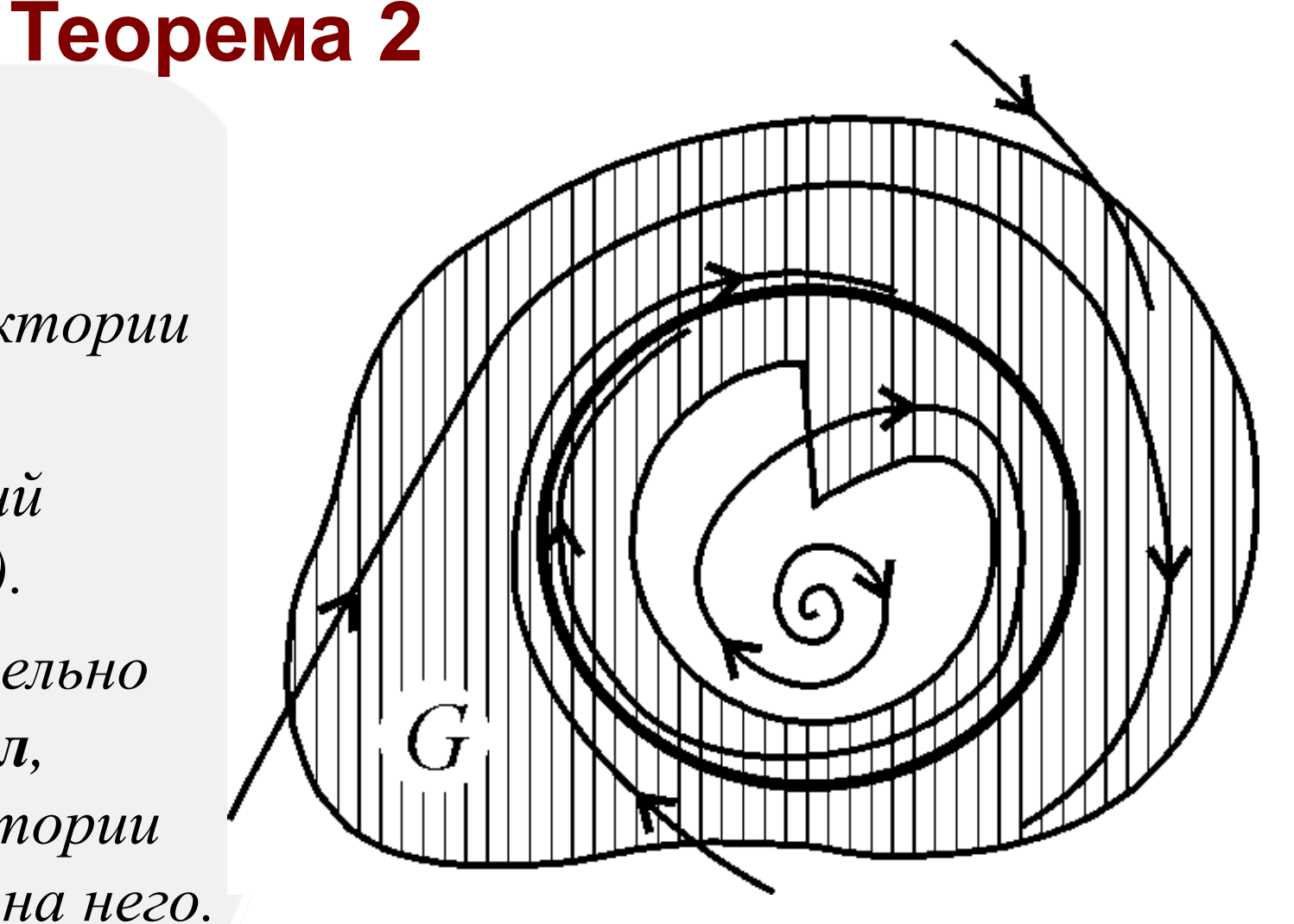


Теоремы существования предельного цикла

Пусть на фазовой плоскости существует область,

- 1. из которой фазовые траектории не выходят,
- 2. и в которой нет положений равновесия (особых точек).

Тогда в этой области обязательно существует **предельный цикл**, причем все остальные траектории обязательно наматываются на него.



Критерии отсутствия замкнутых траекторий

- Если в системе не существует особых точек, то в ней не может быть и замкнутых фазовых траекторий.
- Если в системе существует только одна особая точка, отличная от узла, фокуса и центра (например, седло), то такая система не допускает замкнутых фазовых траекторий.
- Если в системе имеются только простые особые точки, причем через все точки типа узел и фокус проходят интегральные кривые, уходящие на бесконечность, то в такой системе нет замкнутых фазовых траекторий.

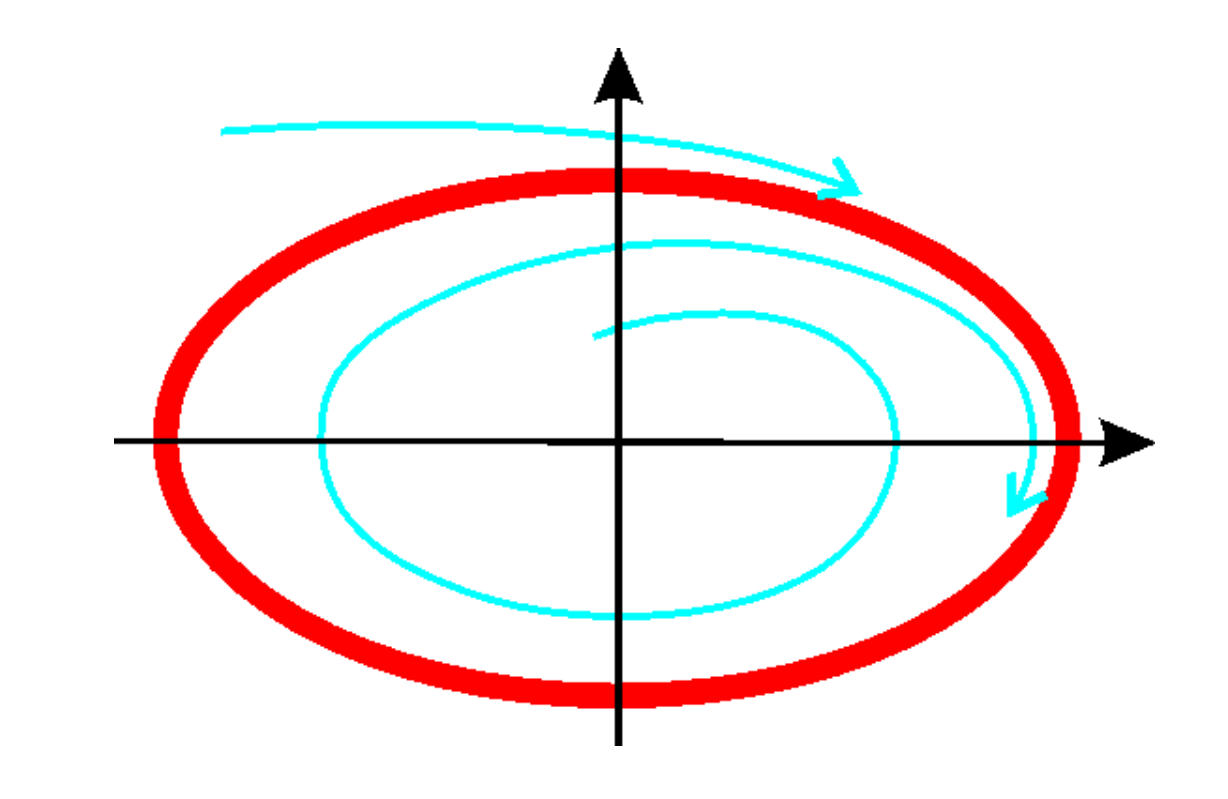
Устойчивость предельного цикла

Предельный цикл устойчив, если h < 0 и неустойчив, если h > 0. Если же h = 0, уравнения первого приближения не решают вопроса об устойчивости периодического движения.

$$h = \frac{1}{T} \int_{0}^{T} \{P'_{x}[\varphi(t), \psi(t)] + Q'_{y}[\varphi(t), \psi(t)]\} dt$$

 $x = \varphi(t), y = \psi(t)$ — любое периодическое решение, соответствующее рассматриваемому предельному циклу, T — период решения.

$$\begin{cases} \frac{dx}{dt} = P(x, y) \\ \frac{dy}{dt} = Q(x, y) \end{cases}$$

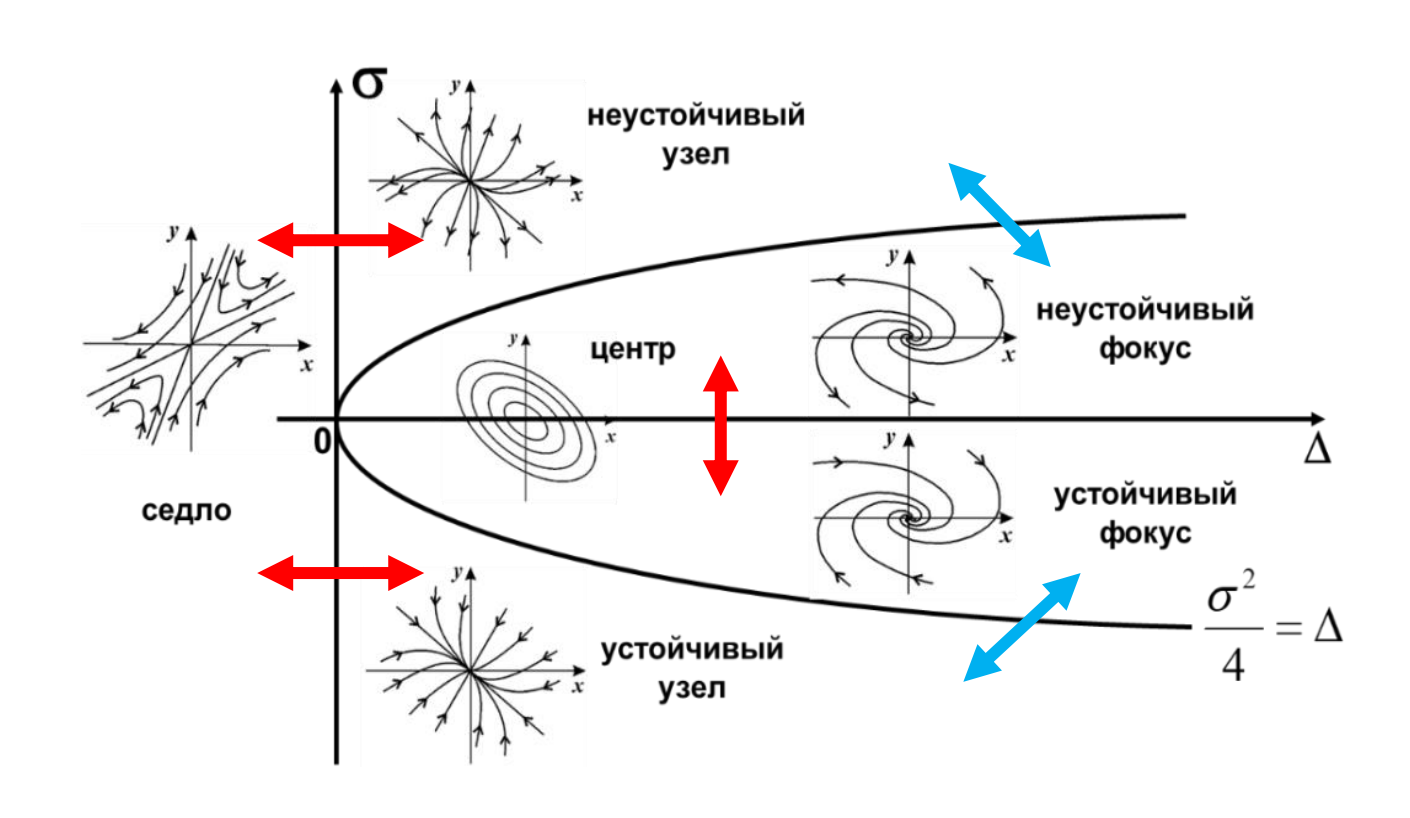




Предельные циклы возможны лишь в системе, правые части которой P(x, y) Q(x, y) представлены нелинейными функциями.

Как возникают автоколебания?

Бифуркация – качественное изменение динамического поведения системы

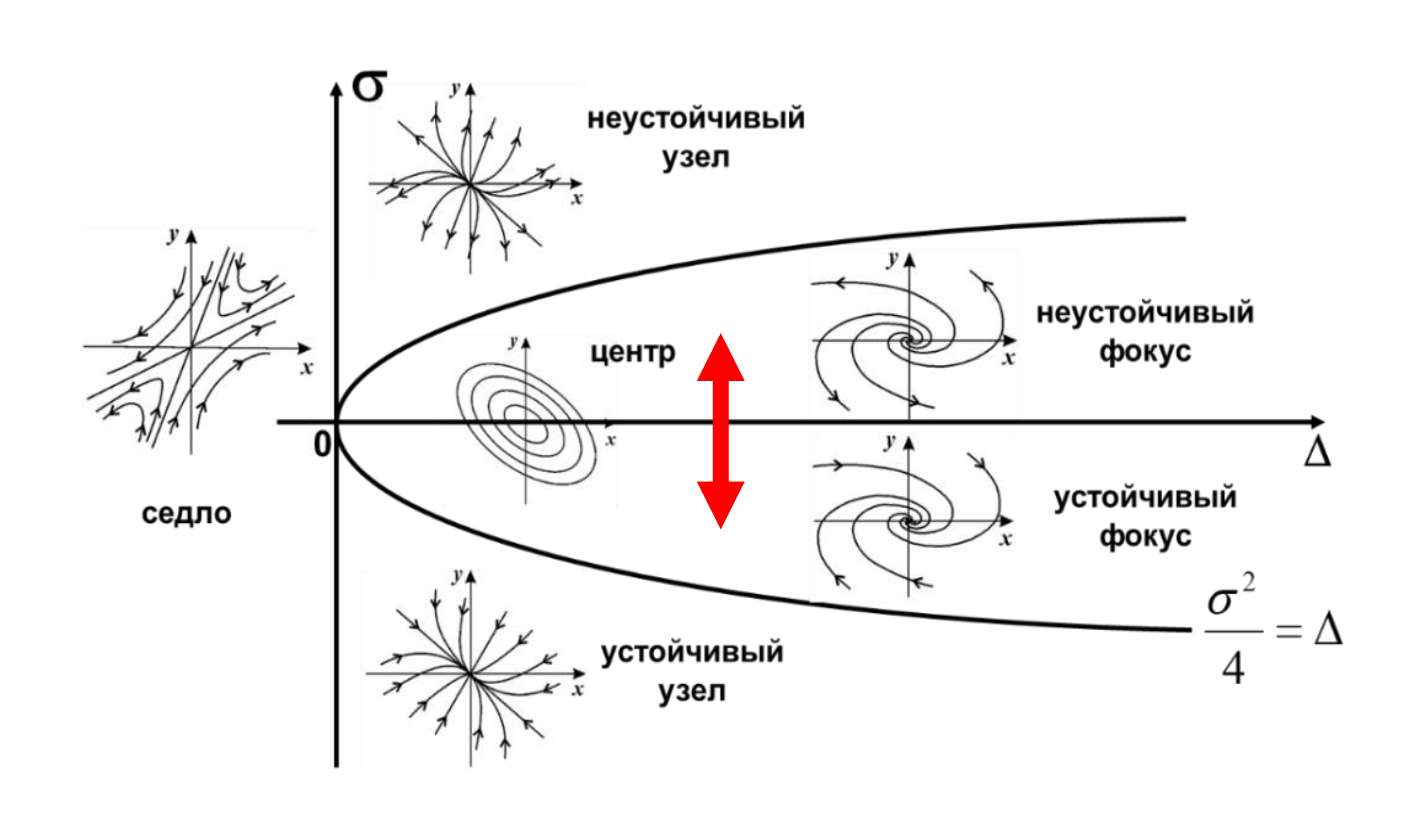


Бифуркационная диаграмма

Бифуркационные переходы:

Не являются бифуркациями: неуст. фокус ↔ неуст. узел уст. фокус ↔ уст. узел

Рождение предельного цикла Бифуркация Андронова-Хопфа



Два типа бифуркаций:

1. закритическая (суперкритическая)

2. докритическая (субкритическая)

Бифуркационная диаграмма

Рождение предельного цикла Бифуркация Андронова-Хопфа



Андронов Александр Александрович (1901-1952)



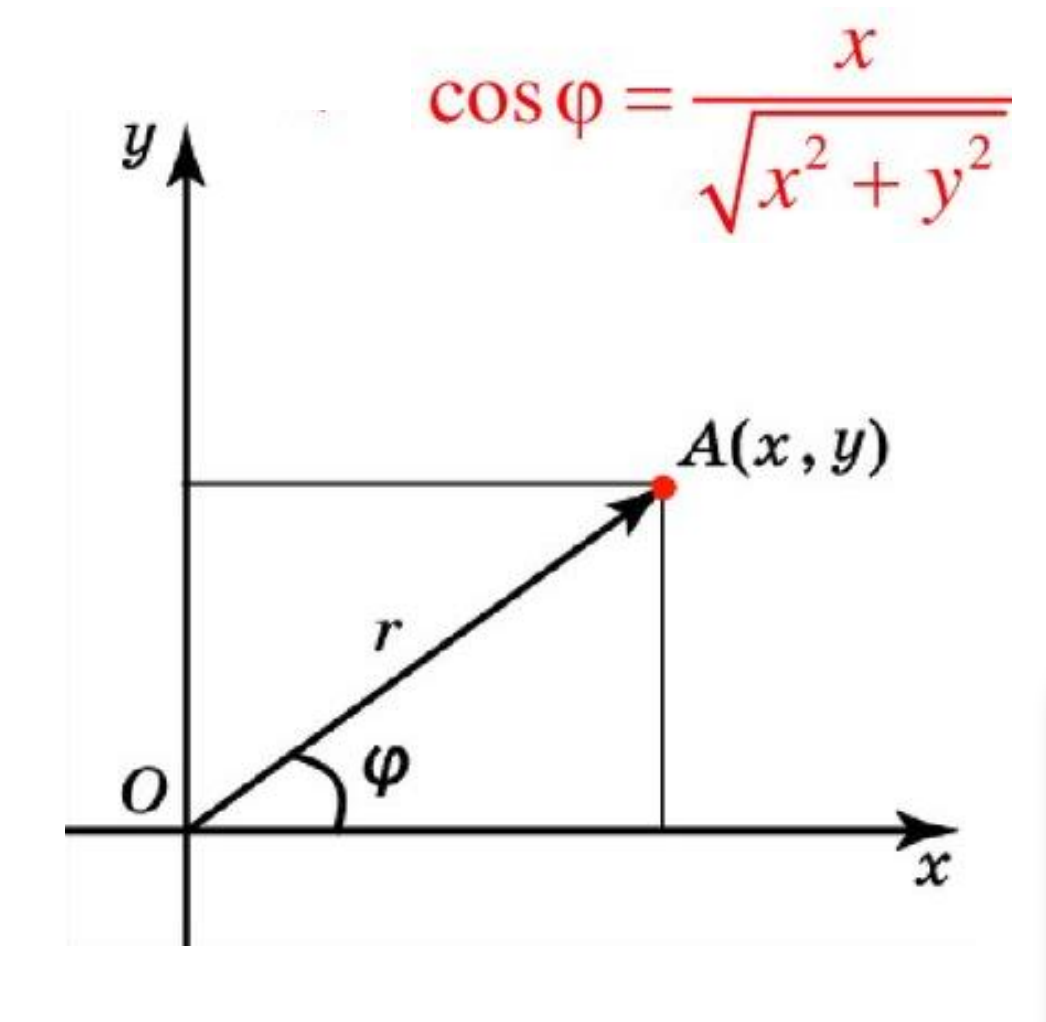
Эберха́рд Фредери́к Фердина́нд Хо́пф (1902-1983)

Бифуркация впервые была исследована А.А. Андроновым (1937) для случая 2-х переменных и обобщена Е. Хопфом (1942) на системы с произвольной размерностью. (Андронов А.А., Витт А.А., Хайкин С.Э. Теория колебаний. М., Наука, 1981)

Модельная система в полярных координатах

$$\frac{dr}{dt} = F(r, \varphi)$$

$$\frac{d\varphi}{dt} = 2\pi$$



$$\sin \varphi = \frac{y}{\sqrt{x^2 + y^2}}$$

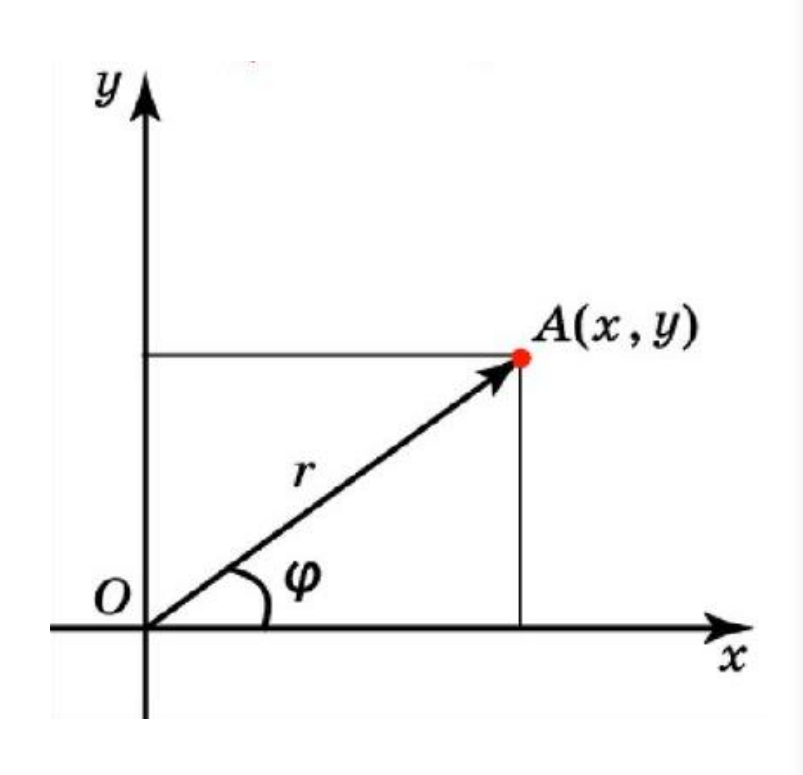
$$r = \sqrt{x^2 + y^2}$$

$$x = r \cos \varphi$$

$$y = r \sin \varphi$$

$$\frac{dx}{dt} = P(x, y)$$
$$\frac{dy}{dt} = Q(x, y)$$

Модельная система в полярных координатах



Полярные координаты

$$r = 0$$

$$r = c$$
 $(c \neq 0)$

Устойчивость (неустойчивость) особой точки

Декартовы координаты

точка

(окружность с нулевым радиусом)

окружность

(предельный цикл) с радиусом С

Устойчивость (неустойчивость) предельного цикла

Закритическая (суперкритическая) бифуркация Мягкое возбуждение автоколебаний

$$\frac{dx}{dt} = x(c - (x^2 + y^2)) - 2\pi y$$
$$\frac{dy}{dt} = y(c - (x^2 + y^2)) + 2\pi x$$

$$\frac{dr}{dt} = r(c - r^2)$$

$$\frac{d\varphi}{dt} = 2\pi$$

Стационарные решения

$$\frac{dr}{dt} = r(c - r^2)$$

$$\frac{d\varphi}{dt} = 2\pi$$

$$r(c-r^2)=0$$

$$\bar{r}_1 = 0$$

$$\bar{r}_2 = \sqrt{c}$$

$$\bar{r}_3 = -\sqrt{c}$$

точка

(окружность с нулевым радиусом)

окружность

(предельный цикл) с радиусом \sqrt{c}

не подходит

Анализ устойчивости

$$\frac{dr}{dt} = r(c - r^2) = P(r, \varphi)$$

$$\frac{d\varphi}{dt} = 2\pi$$

$$\frac{\partial P}{\partial r} = c - 3r^2$$

точка

$$\bar{r}_1 = 0$$
 $\frac{\partial P}{\partial r} = c$

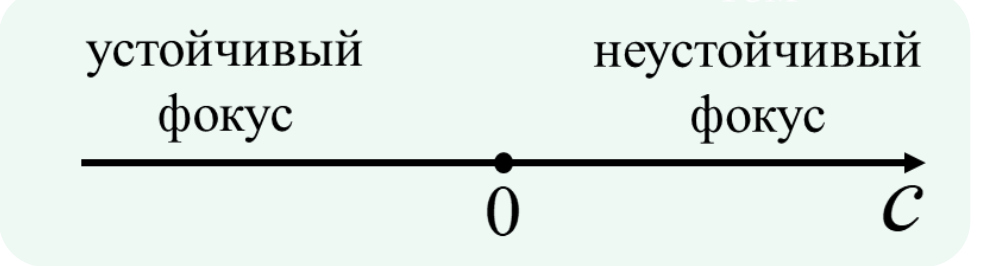
Стационарные решения

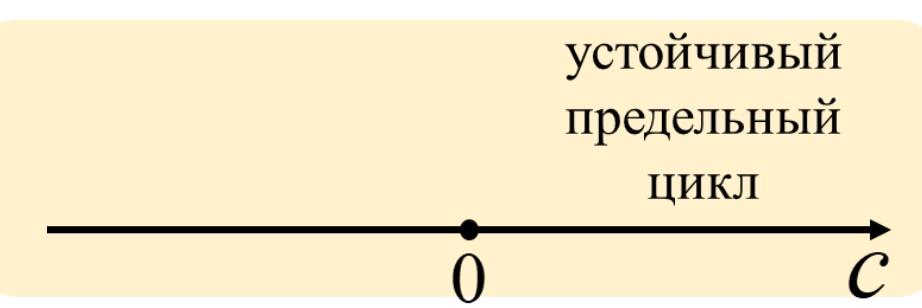
предельный цикл

$$\bar{r}_2 = \sqrt{c}$$
 $\frac{\partial P}{\partial r} = -2c$

Параметрические

диаграммы





Закритическая (суперкритическая) бифуркация Мягкое возбуждение автоколебаний

c = 0.3c = -0.1c = 0.7c = 1.10.5 0.5 0.0 -0.5-0.5-0.5-1.0-1.0-1.0-0.5 0.0 0.5 0.0 0.0 0.0 -0.5 -0.5 -0.5-0.51.0 -0.5 -1.0-0.5 0.0 -1.0

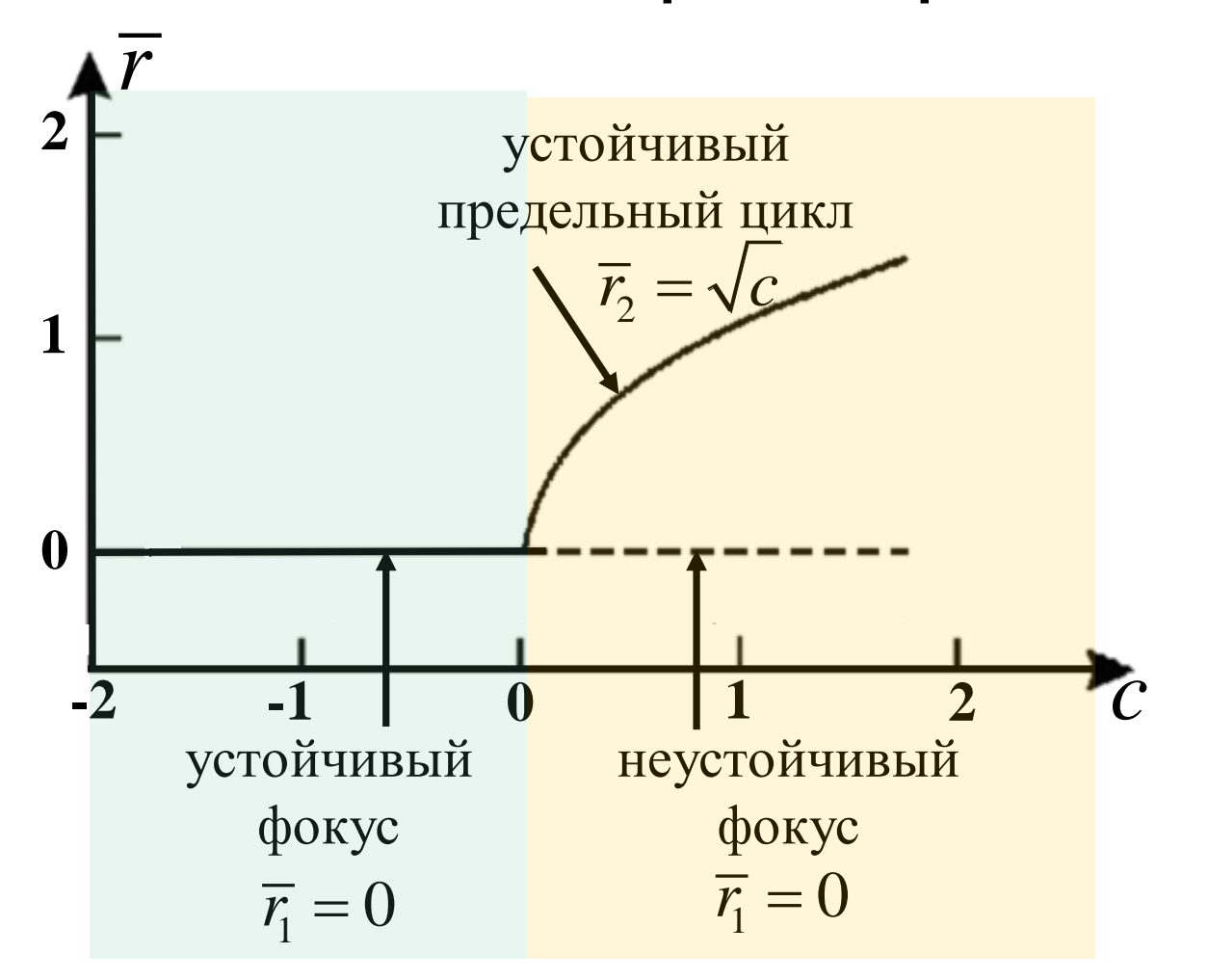
Устойчивый фокус Неустойчивый фокус

+ Предельный цикл

начальные условия

Закритическая (суперкритическая) бифуркация Мягкое возбуждение автоколебаний

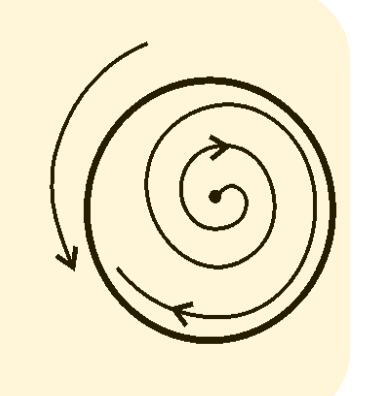
Фазопараметрическая диаграмма



c < 0 точка $ar{r}_1 = 0$ — устойчивый фокус



c>0 точка $\bar{r}_1=0$ — неустойчивый фокус, возник предельный цикл с радиусом \sqrt{c}



$$c=0$$
 бифуркация

Докритическая (субкритическая) бифуркация Жесткое возбуждение автоколебаний

$$\frac{dx}{dt} = x(c + 2(x^2 + y^2) - (x^2 + y^2)) - 2\pi y$$

$$\frac{dy}{dt} = y(c + 2(x^2 + y^2) - (x^2 + y^2)) + 2\pi x$$

$$\frac{dr}{dt} = r(c + 2r^2 - 4r^4)$$
$$\frac{d\varphi}{dt} = 2\pi$$

Стационарные решения

$$\frac{dr}{dt} = r(c + 2r^2 - r^4)$$
$$\frac{d\varphi}{dt} = 2\pi$$

$$r(c + 2r^2 - r^4) = 0$$

$$\bar{r}_1 = 0$$

точка

$$\bar{r}_{2,3} = \sqrt{1 \pm \sqrt{1 + c}}$$

предельные циклы

$$\bar{r}_{4,5} = -\sqrt{1 \pm \sqrt{1 + c}}$$

не подходит

Анализ устойчивости

$$rac{dr}{dt} = r(c + 2r^2 - r^4) = P(r, \varphi)$$
 $rac{d \varphi}{dt} = 2\pi$ Стационарные решения

$$\frac{\partial P}{\partial r} = c + 6r^2 - 5r^4$$

Точка

$$\bar{r}_1 = 0$$

$$\frac{\partial P}{\partial r} = c$$

Предельный цикл

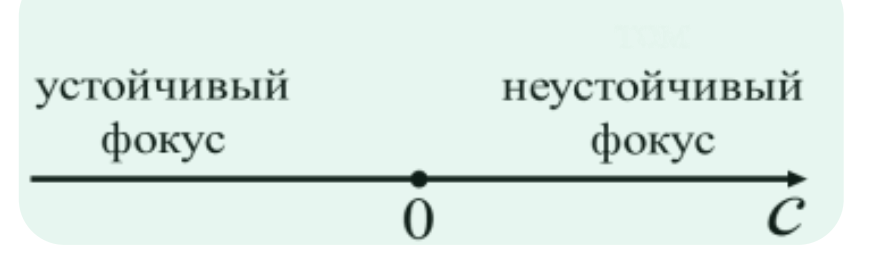
$$\bar{r}_2 = \sqrt{1 - \sqrt{1 + c}}$$

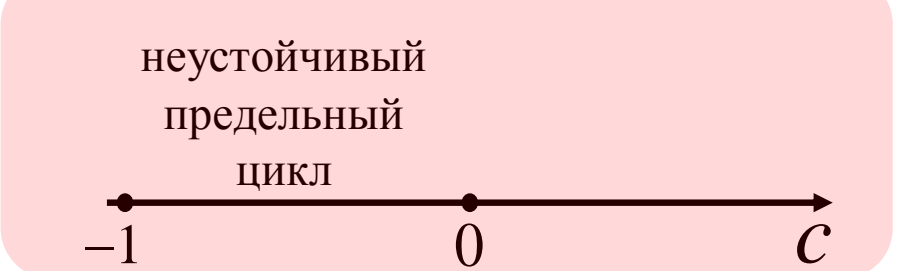
$$\frac{\partial P}{\partial r} = 4 \cdot \sqrt{1 + c} \cdot \left(1 - \sqrt{1 + c}\right)$$

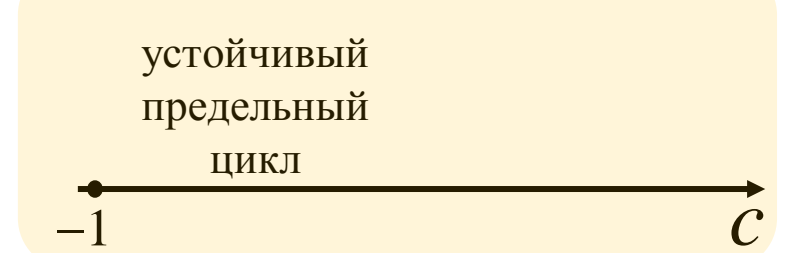
Параметрические диаграммы

Предельный цикл $\bar{r}_3 = \sqrt{1 + \sqrt{1 + c}}$

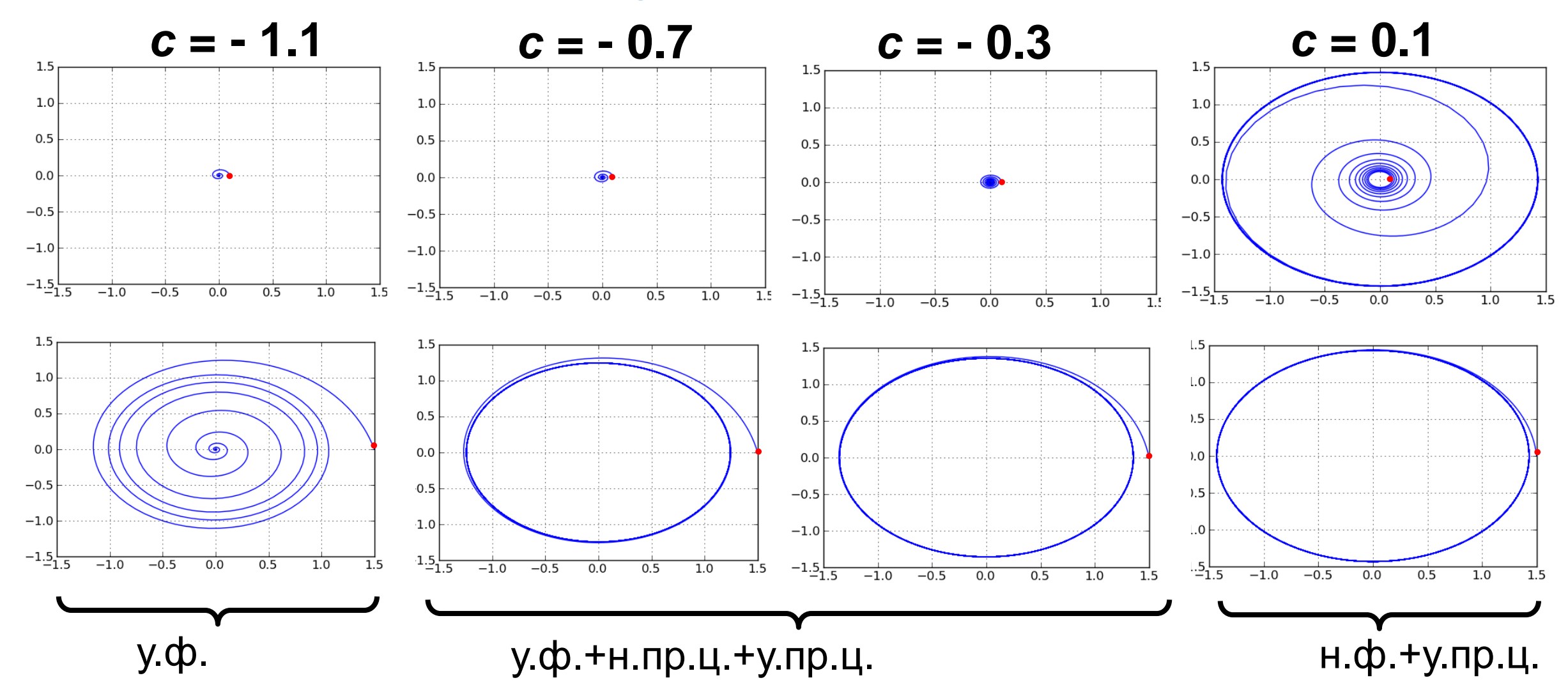
$$\frac{\partial P}{\partial r} = -4 \cdot \sqrt{1 + c} \cdot \left(1 + \sqrt{1 + c}\right)$$





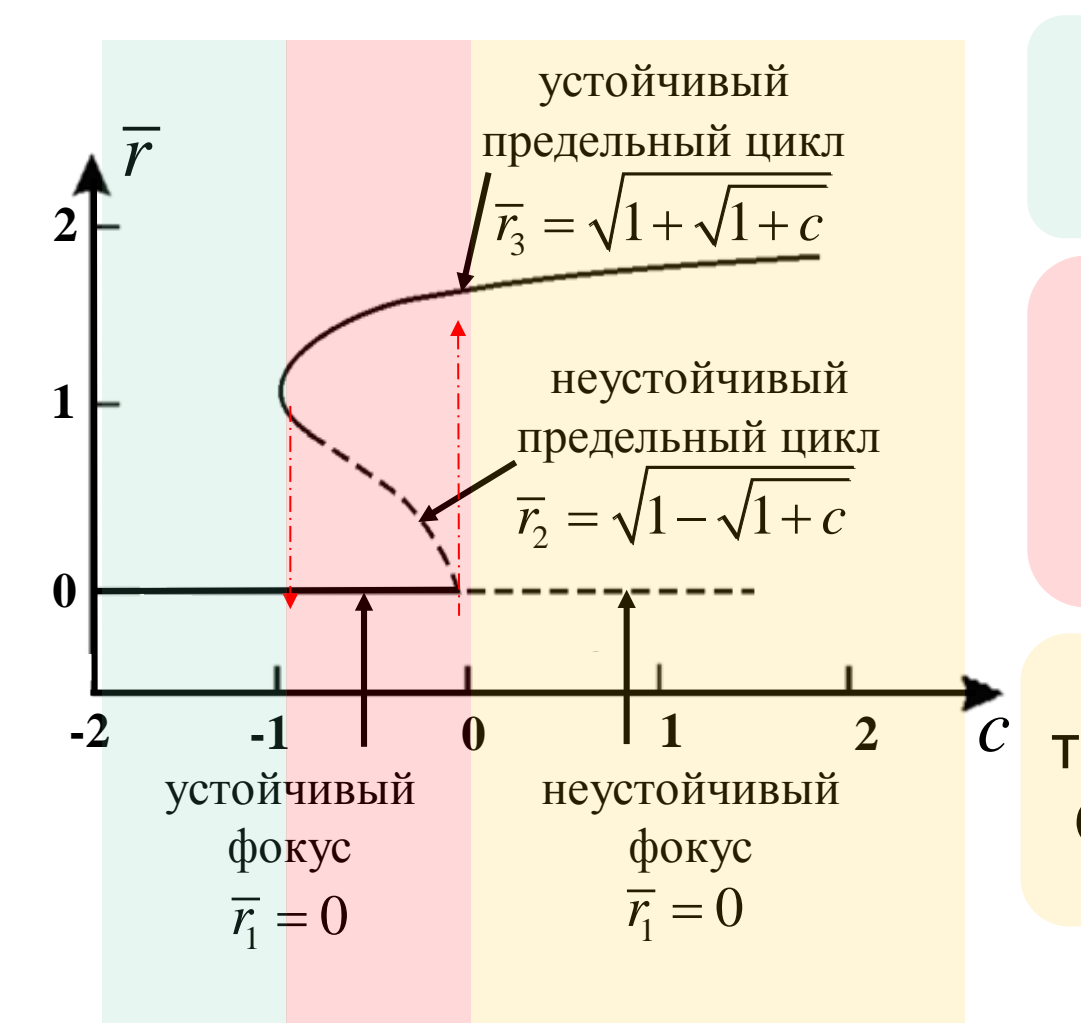


Докритическая (субкритическая) бифуркация Жесткое возбуждение автоколебаний

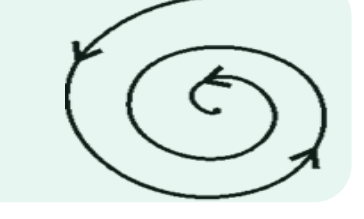


Докритическая (субкритическая) бифуркация Жесткое возбуждение автоколебаний

Фазопараметрическая диаграмма



$$c<-1$$
 точка $ar{r}_{\!\scriptscriptstyle 1}=0$ – устойчивый фокус

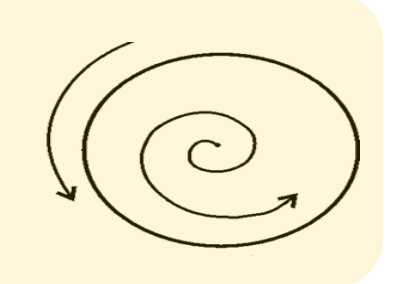


$$-1 < c < 0$$

точка $\bar{r}_1 = 0$ — устойчивый фокус возникли неустойчивый и устойчивый предельные циклы



точка $\bar{r}_1 = 0$ — неустойчивый фокус, Остается устойчивый предельный цикл



$$c=-1$$
, 0 бифуркации



Илья Пригожин (1917-2003)

Модель Брюсселятор(1965)

$$2X + Y \rightarrow 3X$$



Рене Лефевр

Простейшая реализация кубической нелинейности в химической реакции (тримолекулярная реакция)

Закритическая (суперкритическая) бифуркация

Схема реакций брюсселятора (тримолекулярная реакция)

$$A \xrightarrow{k_1} X$$

$$A \xrightarrow{k_1} X$$
 $2X + Y \xrightarrow{k_2} 3X$ $X \xrightarrow{k_4} R$

$$X \xrightarrow{\kappa_4} R$$

$$B+X \xrightarrow{k_3} Y+C$$

$$A \xrightarrow{k_1} X$$
, $2X + Y \xrightarrow{k_2} 3X$, $B + X \xrightarrow{k_3} Y + C$, $X \xrightarrow{k_4} R$.

$$\frac{dx}{dt} = A - x(B+1) + x^2y$$
$$\frac{dy}{dt} = x(B-xy)$$

$$\frac{dx}{dt} = A - x(B+1) + x^2y$$
$$\frac{dy}{dt} = x(B-xy)$$

Стационарное состояние

$$\overline{x} = A$$
 $\overline{y} = \frac{B}{A}$

Коэффициенты линеаризации

$$\frac{dx}{dt} = P(x, y)$$
$$\frac{dy}{dt} = Q(x, y)$$

$$P_{x}'(\bar{x}, \bar{y}) = -(B+1) + 2\bar{x} \cdot \bar{y} = B-1$$

$$P_y'(\bar{x},\bar{y}) = \bar{x}^2 = A^2$$

$$Q_x'(\bar{x},\bar{y}) = B - 2\bar{x}\cdot\bar{y} = -B$$

$$Q_{\nu}' = (\bar{x}, \bar{y}) = -\bar{x}^2 = -A^2$$

Характеристическое уравнение

$$\sigma = P_x' + Q_y' = B - 1 - A^2$$

$$\Delta = P_x' \cdot Q_y' - P_y' \cdot Q_x' = -A^2(B - 1) + A^2B = A^2$$

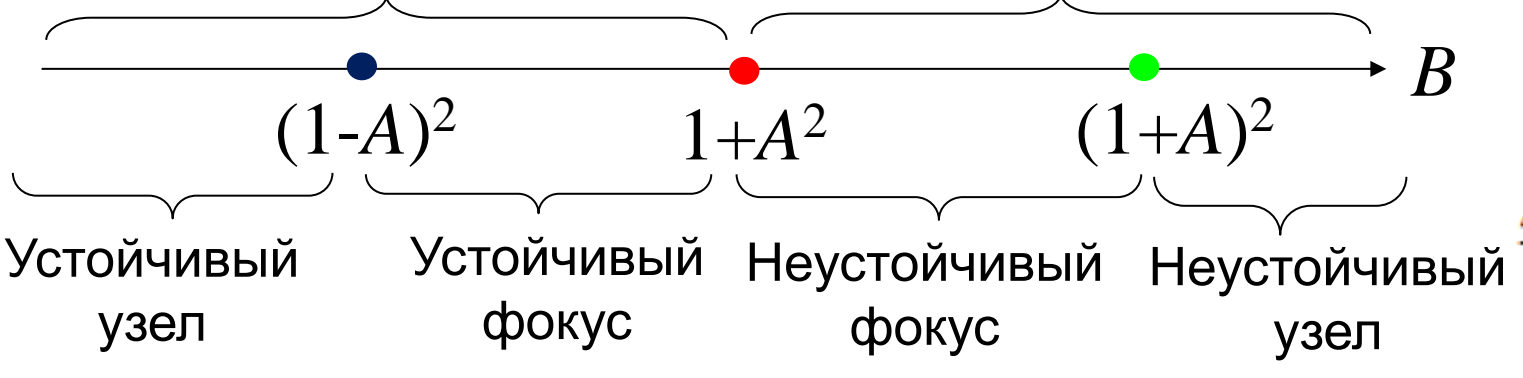
$$\lambda_{1,2} = \frac{\sigma \pm \sqrt{\sigma^2 - 4\Delta}}{2}$$

$$\lambda_{1,2} = \frac{B - 1 - A^2 \pm \sqrt{(B - 1 - A^2)^2 - 4A^2}}{2}$$

Параметрическая диаграмма 1

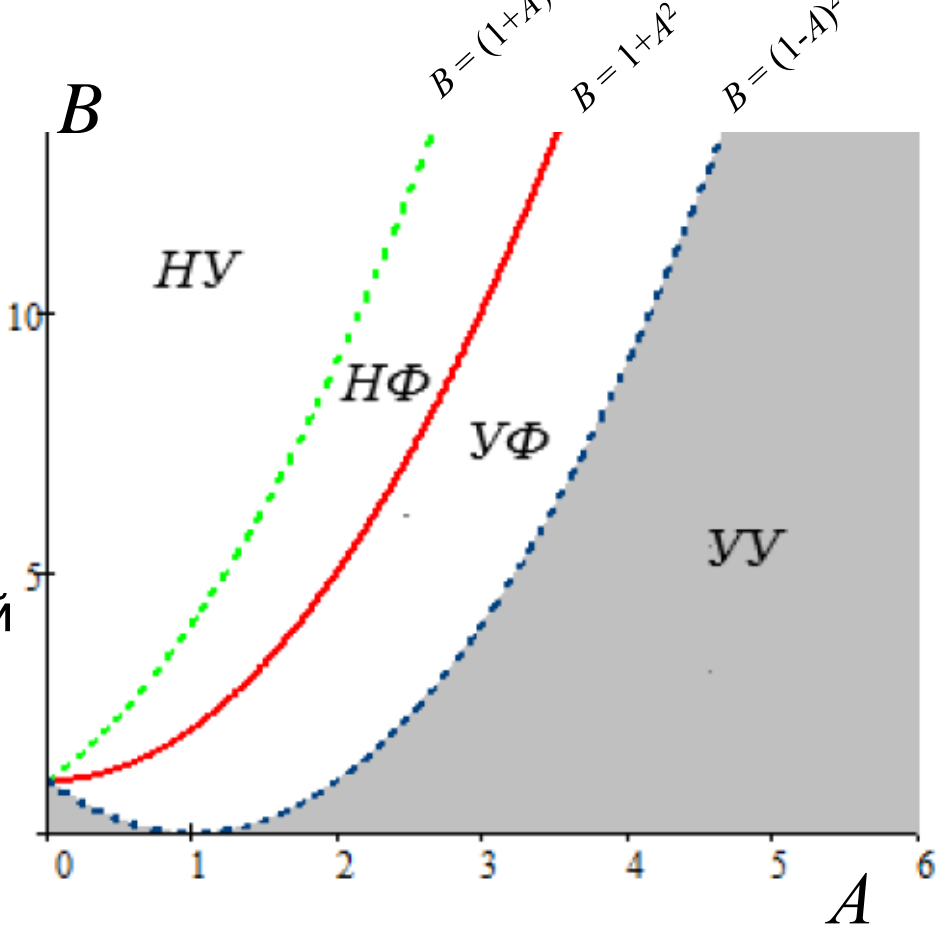
Стационарное состояние устойчиво

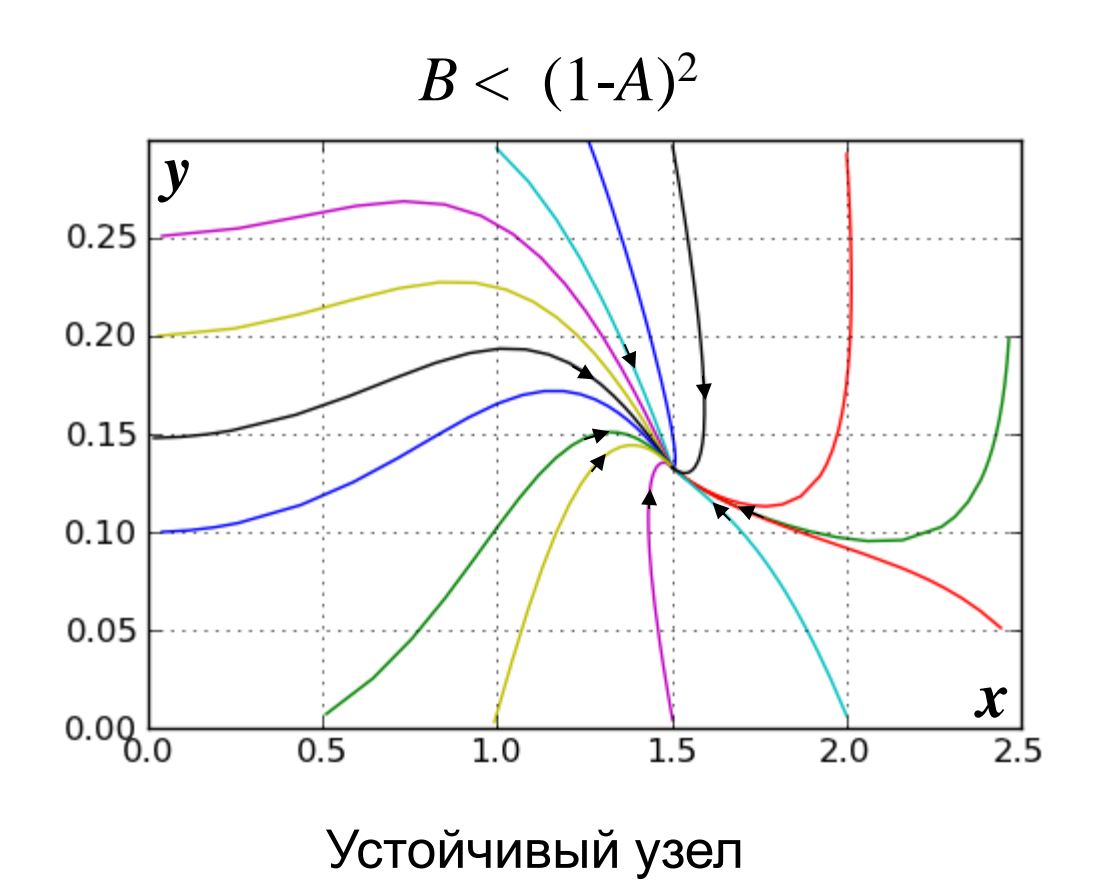
Стационарное состояние неустойчиво



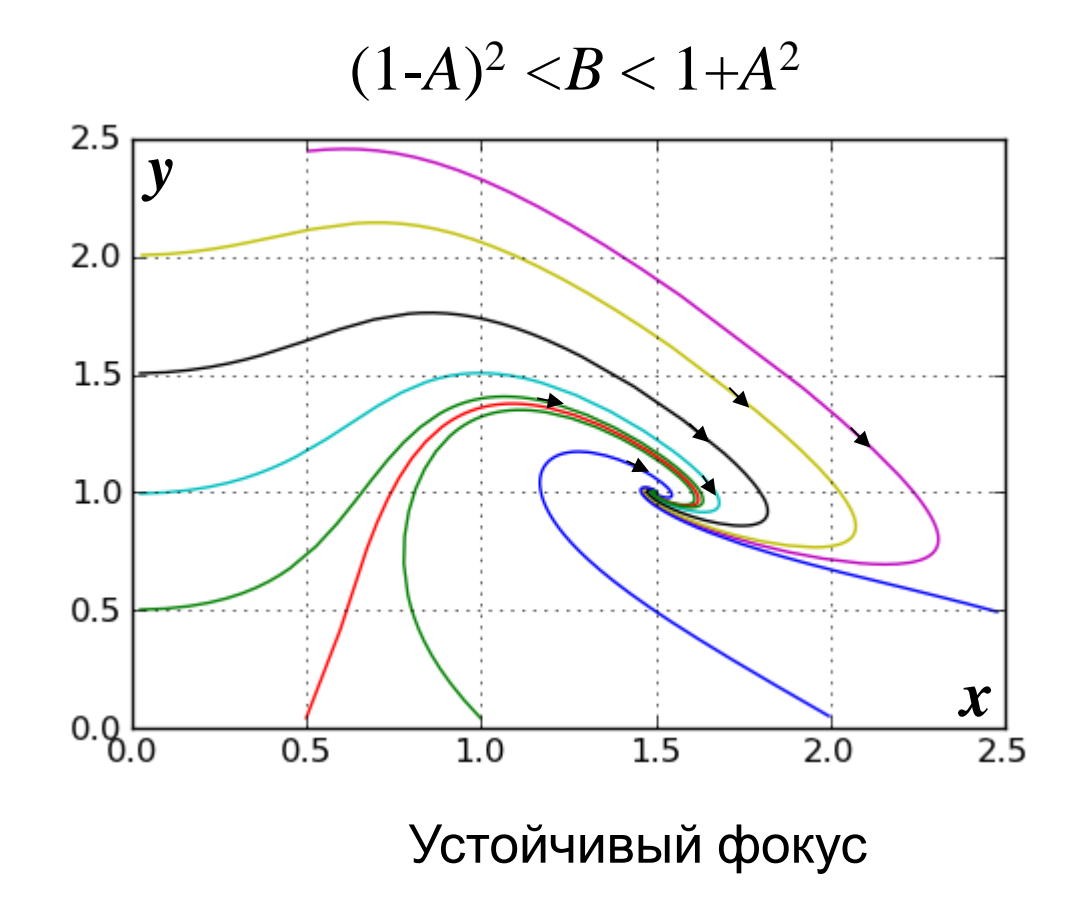
Закритическая (суперкритическая) бифуркация

Параметрическая диаграмма 2

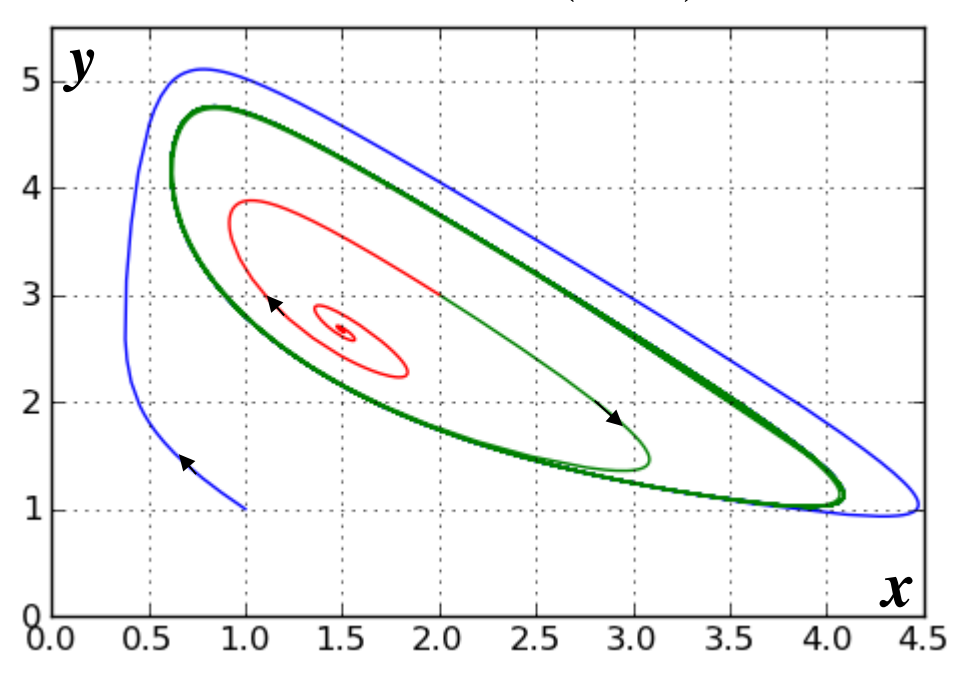




Фазовые портреты



$$1+A^2 < B < (1+A)^2$$

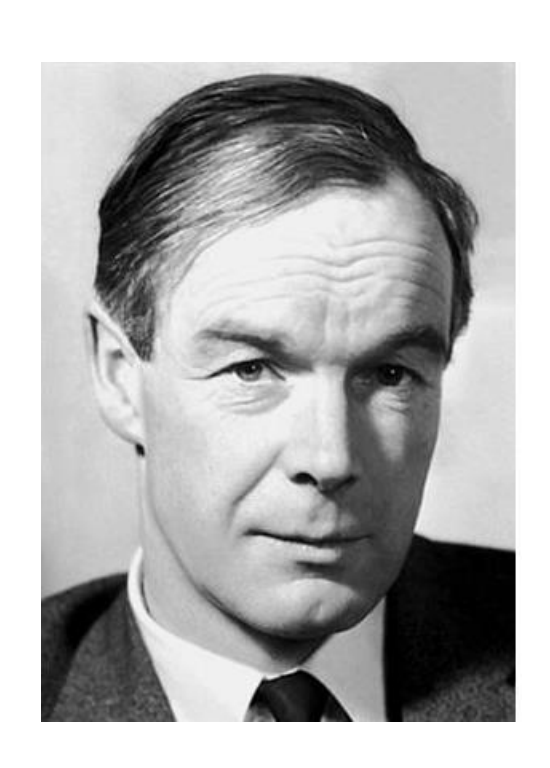


Неустойчивый фокус + устойчивый предельный цикл

Фазовые портреты

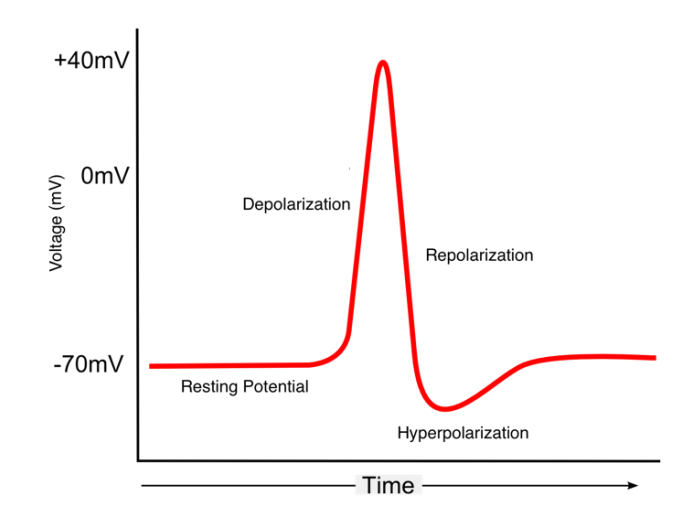
$$B > (1+A)^2$$

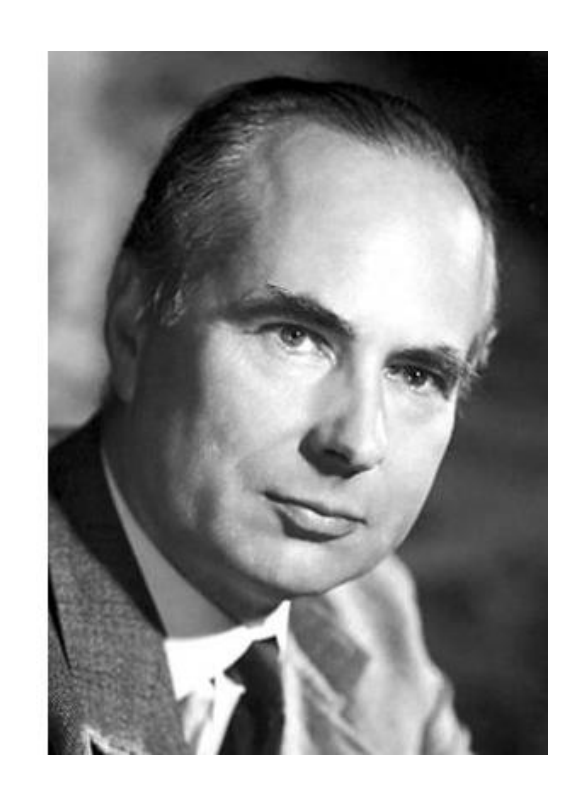
Неустойчивый узел + устойчивый предельный цикл



Алан Ллойд Ходжкин (1914-1998)

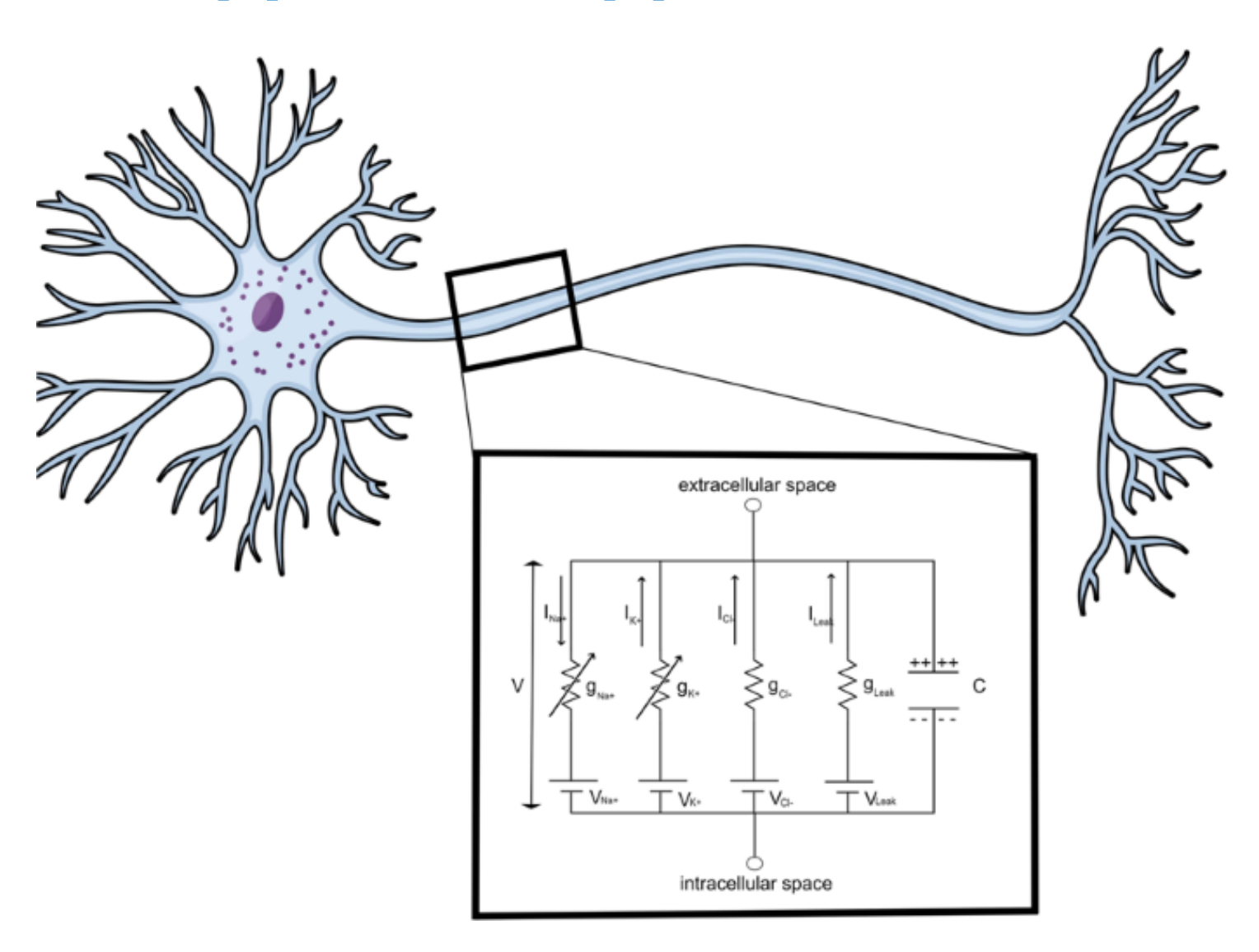
Возникновение нервного импульса (1952)





Эндрю Филдинг Хаксли (1917-2012)

Докритическая (субкритическая) бифуркация



Уравнение, связывающее изменение мембранного потенциала $m{V}$, ионные токи через мембрану $m{I}_{m{i}}$ и внешний стимулирующий ток $m{I}_{m{e}x}$:

$$Crac{dV}{dt} + I_i = I_{ex}$$
 V- потенциал на мембране, C - емкость мембраны,

Выражение для ионного тока I_i :

$$I_{i} = I_{Na} + I_{K} + I_{l} = G_{Na} (V - V_{Na}) + G_{K} (V - V_{K}) + G_{l} (V - V_{l})$$

 I_{Na} — натриевый ток, I_K — калиевый ток и I_I — ток "утечки", обусловленный токами других ионов через мембрану, V_{Na} , V_K , V_I — равновесные потенциалы.

$$G_{Na} = g_{Na}m^3h, G_K = g_Kn^4, G_l = g_l.$$

 $g_{Na},\ g_{K},\ g_{l}$ — максимальные проводимости мембраны для соответствующих типов ионов, величины

m, n, h — переменные (в исходной модели, так называемые воротные частицы, влияющие на проводимость), которые изменяются от 0 до 1.

$$\frac{dV}{dt} = -\frac{1}{c} \left[g_{Na} m^3 h (V - V_{Na}) + g_K n^4 (V - V_K) + g_l (V - V_l) - I_{ex} \right]$$

Медленная переменная

$$\frac{dm}{dt} = \alpha_m(V)(1-m) - \beta_m(V)m$$

$$\frac{dh}{dt} = \alpha_h(V)(1-h) - \beta_h(V)h$$

$$\frac{dn}{dt} = \alpha_n(V)(1-n) - \beta_n(V)n$$

Быстрая переменная

Быстрая переменная

Медленная переменная

$$\frac{dV}{dt} = P(V, n)$$

$$\alpha_{m} = 0.1 \frac{V + 40}{1 - e^{-\frac{V + 40}{10}}}, \alpha_{h} = 0.07e^{-\frac{V + 65}{20}}\alpha_{n} = 0.01 \frac{V + 55}{1 - e^{-\frac{V + 55}{10}}},$$

$$\beta_{m} = 4e^{-\frac{V + 65}{18}}, \beta_{h} = \frac{1}{1 + e^{-\frac{V + 35}{10}}}, \beta_{n} = 0.125e^{-\frac{V + 65}{80}}.$$

$$\frac{dn}{dt} = Q(V, n)$$

Докритическая (субкритическая) бифуркация

